



Semnan University

# Journal of Modeling in Engineering

Journal homepage: <https://modelling.semnan.ac.ir/>

ISSN: 2783-2538



## Research Article

# Cyber-Attacks Modelling and Detection in a Novel Overcurrent Protection Relays Based on logical Analysis of Grid Signal

M. Yousefi Kia <sup>a</sup>, M. Saniei <sup>a\*</sup>, Gh. Seifossadat <sup>a</sup>, A. Saffarian <sup>a</sup>

<sup>a</sup> Department of Electrical Engineering, Faculty of Engineering, Shahid Chamran University of Ahvaz, Ahvaz, Iran.

## PAPER INFO

### Paper history:

Received:

Revised:

Accepted:

Keywords:

Cyber attack;

Modelling;

overcurrent relay;

grid signals;

logical analysis.

## ABSTRACT

Cyber attacks on protective relays lead to power grid outages. Any manipulation of the output and input signals of the relays and their settings is considered a cyber attack. So far, there has been various research on the detection of cyber attacks, but the access of a comprehensive method that uses signals in the network to detect and classify attacks with the least amount of computing time is an essential requirement of the power grid. In this article, a novel model of overcurrent relays based on two parameters, pick-up current and monitoring current, is proposed, and then three types of common attacks include Denial of service, injecting false data in measurement values, changing the setting values of the relay is implemented in the Matlab/Simulink software on a nine-bus and three machines IEEE standard network. The results show that the proposed detection method based on logical relationships between pick-up current, monitoring current, positive and negative sequence of voltage and current and the command sent from the relay to the circuit breakers provides an acceptable performance with high accuracy and without false trigger by detection time of 17 ms in simulation. This method is superior to other detection techniques because it does not depend on the operating point, relay protection scheme and type of cyber attack. The proposed logic could discriminate between symmetric and asymmetric faults and single and multiple cyber attacks. To achieve this goal, it only needs more signals from different buses and relays.

DOI: <https://doi.org/>

© 2024 Published by Semnan University Press.

This is an open access article under the CC-BY 4.0 license. (<https://creativecommons.org/licenses/by/4.0/>)

\* Corresponding author.

E-mail address: [m.saniei@scu.ac.ir](mailto:m.saniei@scu.ac.ir)

How to cite this article:

## مدل سازی و شناسایی حملات سایبری در رله حفاظت اضافه جریان بر اساس تحلیل منطقی سیگنال های شبکه

محمد یوسفی کیا<sup>۱\*</sup>، محسن صنیعی<sup>۲\*</sup>، سید قدرت اله سیف السادات<sup>۳</sup> و علیرضا صفاریان<sup>۴</sup>

| اطلاعات مقاله   | چکیده   |
|---|---|
| دریافت مقاله:   | حملات سایبری به رله های حفاظتی سبب خاموشی شبکه قدرت می شوند. هر گونه دستکاری در سیگنال های خروجی و ورودی رله ها و تنظیمات آنها حمله سایبری محسوب می شود. معرفی روش جامعی که با استفاده از سیگنال های موجود در شبکه و در کمترین زمان محاسباتی تشخیص و کلاسه بندی حملات را انجام دهد یک نیاز ضروری شبکه قدرت می باشد. در این مقاله ابتدا مدل جدیدی از رله های اضافه جریان مبتنی بر دو پارامتر جریان پیک آپ و جریان پایش پیشنهاد می شود و سپس حملاتی شامل توقف سرویس دهی، تزریق داده نادرست در مقادیر اندازه گیری ، تغییر مقادیر تنظیمی رله در محیط نرم افزار Matlab/Simulink بر روی شبکه نه باس و سه ماشین استاندارد IEEE پیاده سازی می شود. نتایج نشان می دهد که مدل پیشنهادی تشخیص مبتنی بر ایجاد روابط منطقی بین جریان پیک آپ، جریان پایش، توالی مثبت و منفی ولتاژ و جریان و فرمان ارسالی از رله به کلید ها عملکرد قابل قبولی با دقت بالا و بدون تشخیص کاذب و زمان تشخیص ۱۷ میلی ثانیه در شبیه سازی ارائه می دهد. این روش نسبت به سایر تکنیک های تشخیص برتری دارد زیرا به نقطه عملیاتی، طرح حفاظت رله و نوع حمله سایبری وابسته نیست. منطق پیشنهادی قابلیت تمایز انواع خطاهای متقارن، غیر متقارن و حملات سایبری تکی و چند گانه را دارد و برای رسیدن به این هدف صرفا نیاز به تعداد بیشتری سیگنال از باس های مختلف و رله ها دارد. |
| بازنگری مقاله:  |   |
| پذیرش مقاله:  |   |
| <b>واژگان کلیدی:</b>  |   |
| حمله سایبری،<br>مدل سازی،<br>رله اضافه جریان،<br>سیگنال های شبکه،<br>تحلیل منطقی، |   |

DOI: <https://doi.org/>

© 2024 Published by Semnan University Press.

This is an open access article under the CC-BY 4.0 license. (<https://creativecommons.org/licenses/by/4.0/>)

در سال های اخیر با گسترش شبکه های برق، اپراتور مستقل سیستم برای حفظ پایداری و قابلیت اطمینان سیستم در هر سه سطح تولید، انتقال و توزیع با چالش های بیشتری مواجه است. در عین حال توسعه و نفوذ سیستم های مخابراتی باعث بهبود عملکرد پایش شرایط در زمینه حفاظت و کنترل سیستم شده و در این راستا تجهیزات جدیدی مانند واحد اندازه گیری فازور و

### ۱- مقدمه<sup>۱</sup>

\* پست الکترونیک نویسنده مسئول: [m.saniei@scu.ac.ir](mailto:m.saniei@scu.ac.ir)

۱. دانشجوی دکتری، دانشکده مهندسی، دانشگاه شهید چمران اهواز
  ۲. دانشیار، دانشکده مهندسی، دانشگاه شهید چمران اهواز
  ۳. استاد، دانشکده مهندسی، دانشگاه شهید چمران اهواز
  ۴. دانشیار، دانشکده مهندسی، دانشگاه شهید چمران اهواز
- استناد به این مقاله: نحوه استناد فارسی در اینجا درج گردد.

متمرکز کننده داده های فازوری به شبکه اضافه شده اند [۱]. عملکرد صحیح سیستم های سایبری در شبکه های فیزیکی سایبری ضامن کارایی شبکه برق می باشد. با نگاهی به تاریخچه خاموشی ها در شبکه برق می توان دریافت که بیشتر این خاموشی ها به دلیل اختلال در شرایط عادی سیستم بوده و یکی از مهمترین نقاط ضعف و آسیب پذیر آن وقوع حملات سایبری است [۲]. بنابراین موضوع امنیت سایبری یکی از مهم ترین چالش های پیش روی شبکه های قدرت است و عدم توجه به این موضوع می تواند موجب خسارات اقتصادی، آسیب به تجهیزات و در نهایت خاموشی های گسترده و متوالی در سراسر شبکه برق شود [۳]. هدف اصلی حملات سایبری شامل دو بخش فیزیکی از قبیل تجهیزات الکترونیکی هوشمند و بخش سایبری شامل لایه های مخابراتی، محاسباتی و نرم افزاری است [۴].

به طور کلی، حملات سایبری رویدادهای مخربی هستند که باعث عملکرد نامناسب رابط ماشین و انسان (HMI<sup>2</sup>)، سیستم های کنترل، خاموشی ماشین ها، ریزش بار و خرابی متوالی سیستم می شود [۵]. امروزه اجزای اساسی شبکه های برق از طریق کانال های مخابراتی به هم متصل می شوند [۶]. چالش های مختلف مربوط به امنیت سایبری شبکه های توزیع برق از جمله پیچیدگی و توسعه آنها در آینده، الزامات مخابراتی، تهدیدات و نقاط آسیب پذیر سیستم های ارتباطی، عوامل تاخیر، پروتکل ها و برندهای ناهمگن، دستگاه های قدیمی، ارتباط امن دو طرفه و حریم خصوصی کاربر در مرجع [۷] بیان شده است.

در این مقاله ابتدا مدل جدیدی از مشخصه عملکرد رله اضافه جریان پیشنهاد می شود و سپس سه مدل حمله سایبری شامل تزریق داده های اندازه گیری نادرست به صورت حمله تکرار<sup>۳</sup> و تغییر مقادیر تنظیمی آستانه رله<sup>۴</sup> به صورت FDI<sup>۵</sup> و توقف سرویس دهی (DoS<sup>۶</sup>) بر روی سیستم قدرت بر اساس مفهوم آنها در نرم افزار Matlab/Simulink مدل سازی شدند. با شروع حملات و دسترسی به مقادیر اندازه گیری سیستم، سیگنال های

توالی مثبت و منفی جریان و ولتاژ در باس های مرتبط در سیستم قدرت و همچنین وضعیت فرمان های ارسالی به بریکرها نمونه برداری می شوند و در نهایت یک الگوریتم منطقی تشخیص و حفاظت مقاوم در برابر تهدیدات فیزیکی-سایبری برای شناسایی حملات سایبری پیشنهاد شده است.

## ۲- مفهوم امنیت سایبری در سیستم قدرت

به طور کلی برای دستیابی به یک سیستم قدرت غیرقابل نفوذ، لازم است سه گانه امنیت CIA (محرمانگی، یکپارچگی و در دسترس بودن) برآورده شود. محرمانه بودن ویژگی است که در آن اطلاعات در اختیار افراد، نهادها یا فرآیندهای غیرمجاز قرار نمی گیرد یا افشا نمی شود [۸]. یکپارچگی ویژگی حفظ و اطمینان از صحت و کامل بودن داده ها در طول فرآیند یا محافظت از اطلاعات در برابر تغییر توسط اشخاص غیرمجاز است [۹] و از سوی دیگر در دسترس بودن ویژگی است برای اطمینان از اینکه اشخاص یا نهادهای مجاز می توانند در صورت نیاز به اطلاعات یا دستگاه ها دسترسی داشته باشند [۱۰].

اگر هر یک از این پارامترهای امنیتی برآورده نشود، سیستم در معرض تهدید یا حمله قرار می گیرد. این مقاله به بررسی برخی نکات اساسی مرتبط با تهدیدات امنیتی در رله حفاظتی دیجیتال اضافه جریان می پردازد. رایج ترین مدل های حمله در پژوهش های پیشین مرتبط با رله های حفاظتی شامل تزریق داده های نادرست، توقف سرویس دهی، تغییر مقادیر تنظیمی آستانه، حمله مرد میانی<sup>۷</sup> و دستگاه های بدون مجوز<sup>۸</sup> است. در حمله مرد میانی مهاجم با دسترسی به کانال های ارتباطی و تغییر دستگاه های اندازه گیری، دو پارامتر محرمانگی و یکپارچگی را هدف قرار می دهد. جزئیات پیاده سازی و اثرات حمله مرد میانی به پیام های عمومی رویدادهای شی گرا (GOOSE) در پروتکل ارتباطی IEC 61850 روی رله های حفاظتی نصب شده در پست ها در [۱۱] ارائه شده است.

در حمله دستگاه بدون مجوز، نفوذگر با دسترسی فیزیکی به تجهیزاتی مانند واحد اندازه گیری فازور (PMU) و

<sup>2</sup> Human Machine Interface

<sup>3</sup> Replay Attack

<sup>4</sup> Altered Set point

<sup>5</sup> False Data Injection

<sup>6</sup> Denial of Service

<sup>7</sup> Man in the middle

<sup>8</sup> Rouge device

تأثیر حملات سایبری بر شبکه قدرت از نظر شدت آسیب بسیار متنوع است و از موارد کوچک سرقت انرژی تا خاموشی‌های گسترده و تخریب تجهیزات موتور و ژنراتورها را شامل می‌شود. چند نمونه از حملات سایبری با تأثیر زیاد بر سیستم قدرت در [۲۱] بیان شده است.

رله‌های حفاظتی علاوه بر عملکرد در شرایط خطا، امکان باز و بسته شدن از راه دور توسط اپراتور سیستم را با کمک کانال‌های ارتباطی دارند، بنابراین در صورت ناامن بودن این شبکه بی‌سیم، امکان تهاجم تسهیل می‌شود [۲۲]. در سال‌های اخیر مطالعات زیادی در زمینه افزایش امنیت سایبری در شبکه‌های قدرت و مقابله با تهدیدات سایبری انجام شده است که عمدتاً مبتنی بر تحلیل حالت پایدار است. حمله تزریق داده‌های نادرست می‌تواند با داشتن اطلاعات توپولوژی یک سیستم قبل از حمله منجر به اعوجاج الگوریتم تخمین حالت شود [۲۳].

مروری بر انواع حملات FDI و روش‌های تشخیص آنها بر اساس اطلاعات افشا شده توپولوژی سیستم در [۲۴] شرح داده شده است. یک روش ابتکاری با استفاده از اطلاعات محلی برای جلوگیری از حملات غیرقابل تشخیص توسط نفوذگر مبتدی در [۲۵] ارائه شده است. یک مبنای ریاضی برای تعیین کمی اثرات اقتصادی وقوع حملات داده‌های توپولوژیکی در بازار برق زمانی که مهاجم از استراتژی پیشنهاد مجازی استفاده می‌کند، در [۲۶] فرموله شده است. پس از آن، با تجزیه و تحلیل پایداری در خط انتقال، توانایی مهاجمان برای نفوذ به فرآیند مناقصه مجازی برای باس‌های خاص محاسبه می‌شود. در [۲۷] یک روش تاب‌آور برای شناسایی حمله FDI در رله‌های دیفرانسیل جریان خط توضیح داده شده که از دو ماژول محاسباتی، توالی مثبت (PS) و توالی منفی (NS) برای محاسبه ولتاژ در ترمینال و مقایسه با ولتاژ اندازه‌گیری شده و اعتبار سنجی جریان‌های اندازه‌گیری شده استفاده کرده است. طولانی بودن مراحل محاسباتی و امکان نقض محدودیت‌های زمانی مجاز برای کارکرد تجهیزات حفاظتی به عنوان عیب آن ذکر شده است. یک الگوریتم بهینه‌سازی فرا ابتکاری در حالت ثابت برای مقابله با سه نوع حمله سایبری استفاده می‌شود [۲۸].

در [۲۹]، FDI در سیستم اتوماسیون پست شامل رله‌های دیستانس و کلیدهای قدرت انجام شده است. یک

جایگزینی آن، حمله را برنامه‌ریزی می‌کند و از این طریق با ارسال سیگنال‌ها و دستورات نادرست بر عملکرد سیستم تأثیر می‌گذارد [۱۲].

هدف اصلی حملات توقف سرویس دهی، اختلال در ویژگی دسترسی است که مهاجم با تأخیر یا مسدود کردن لینک‌های ارتباطی و ارسال حجم زیادی از داده‌ها با هدف ایجاد ترافیک، آن را آغاز می‌کند [۱۳]. احتمال وقوع حملات DoS در لایه‌های ارتباطی مختلف سیستم‌های قدرت، به صورت پارازیت در کانال برای لایه فیزیکی با اثر تأخیر یا عدم ارسال پیام و همچنین تغییر پارامترهای آدرس MAC از طریق جعل داده‌ها وجود دارد [۱۴]. یک روش تشخیص تهدید در پستی با سیستم اتوماسیون مبتنی بر IEC61850 در [۱۵] پیشنهاد شده است. بررسی نقاط ضعف و آسیب‌پذیری بخش‌های مختلف سخت‌افزاری و نرم‌افزاری در برابر حملات DoS و اثرات آن بر سایر لایه‌ها از جمله انتقال و شبکه در [۱۶] بیان شده است. نمونه‌های ذکر شده از حملات DoS شامل جعل<sup>۹</sup>، گسیل<sup>۱۰</sup> و پارازیت<sup>۱۱</sup> است که نتیجه نهایی آن تأخیر یا عدم ارسال پیام‌های وابسته به زمان است و باعث اختلال در عملکرد سیستم و تجهیزات و عدم امکان برقراری ارتباط با تجهیزات می‌شود. بررسی شدت اثرات کلیدزنی مخرب و حملات DoS در رله‌های حفاظتی دیجیتال شبکه برق اوکراین با شبیه‌سازی حملات سایبری در [۱۷] انجام شده است.

در حملات با تزریق داده‌های نادرست هدف ایجاد تغییر در بردار داده‌های ذخیره شده می‌باشد که در رایج‌ترین موارد با هدف حمله به بردار تخمین حالت و از مدار خارج کردن روش‌های تشخیص داده‌های بد<sup>۱۲</sup> انجام می‌شود [۱۸]. در سال‌های اخیر، مطالعات زیادی بر روی دامنه این حملات متمرکز شده‌اند که تزریق اطلاعات ناقص به سیستم کنترل تولید خودکار<sup>۱۳</sup> و پارامترهای بازار برق از بارزترین آن‌ها هستند [۱۹]. چندین تکنیک برای شناسایی و کاهش اثر چنین حملاتی در [۲۰] توسعه یافته است.

<sup>9</sup> Spoofing

<sup>10</sup> flooding

<sup>11</sup> Jamming

<sup>12</sup> Bad Data Detector

<sup>13</sup> Automatic Generator Controller

طرح حفاظتی تاب آور در برابر حملات سایبری با استفاده از اصول هماهنگی حفاظتی برای بررسی تغییرات تنظیمات حفاظتی و با استفاده از الگوریتم ضریب همبستگی بر اساس آنالیز اثر خطای گذرا (TFS) پیشنهاد شده است که در آن نقاط ضعف رله‌های اضافه جریان و جهتی حذف می‌شوند. این مرجع بدون توجه به مسائل کاربردی مربوط به پست‌ها، اقدام به پیاده‌سازی کرده است. در [۳۰]، اثرات حملات فیزیکی-سایبری در حوزه برق در حین دستکاری خرابکارانه مسیرهای ارتباطی و عملکرد منابع تولید پراکنده ارائه شده است. در مرجع [۳۱]، اثرات دینامیکی حملات سایبری به پست‌ها بررسی شده و مطالعات دینامیکی به عنوان راه حلی موثر برای شناسایی حملات سایبری بیان شده است. این مطالعه صرفاً اثرات پویای حملات کلیدزنی را بررسی نموده و الگوریتمی برای مقابله با سایر حملات ارائه نکرده است.

در [۳۲] با تجزیه و تحلیل رابطه بین تنظیمات رله و منطق قطع کلیدها در هنگام حمله، روش جدیدی برای ارزیابی ریسک معرفی شده است. این روش ارزیابی تنها زمانی استفاده می‌شود که حملات رخ می‌دهند و در هنگام خطاهای فیزیکی معمولی موثر نیست. قابل توجه است که رفتار شبکه‌های قدرت در دو مورد حمله سایبری و خطای اتصال کوتاه متفاوت است و نیاز به فرضیات متفاوتی برای ارزیابی ریسک دارد. در این مرجع ارزیابی ریسک سیستم‌های قدرت در حملات سایبری با در نظر گرفتن نقش سیستم حفاظتی مانند تنظیمات رله و پارامترها مورد توجه قرار گرفته است. برای تشخیص از شاخص  $ELC^{14}$  استفاده می‌شود اما دلیل انتخاب این شاخص و برتری آن نسبت به سایر روش‌ها به وضوح ذکر نشده است. در [۳۳]، حملات FDI، کلیدزنی، DoS و حمله تکرار<sup>۱۵</sup> برای سیستم حفاظتی (رله‌های جریان اضافه)، دستگاه‌های الکترونیکی هوشمند و کلیدهای قدرت اعمال شده است. روش تشخیص مبتنی بر تجزیه و تحلیل حالت پویا است که در شرایط زمان واقعی پرهزینه است. در [۳۴]، تشخیص حملات سایبری از قبیل حمله مرد میانی، تزریق داده‌های نادرست، حمله به تنظیمات تپ چنجر ترانسفورماتور و حمله تکرار در رله‌های

حفاظتی خط انتقال بر اساس یادگیری عمیق آموزش یافته توسط نمونه‌های اندازه‌گیری جریان و ولتاژ انجام شده است. نیاز به مجموعه داده‌های آموزشی و فقدان داده‌های واقعی و مناسب در شرایط حمله مشکل اصلی این روش محسوب می‌شود.

در [۳۵] رویکرد کنترل چند متغیره در هنگام تزریق داده‌های نادرست، حمله مرد میانی، حمله تکرار و حمله یکپارچگی برای افزایش امنیت رله‌های حفاظتی اضافه جریان اعمال می‌شود. این روش از چندین کنترلر استفاده کرده و توالی وقایع را به همراه ادغام داده‌های فیزیکی و سایبری دریافتی از سینکروفاورها<sup>۱۶</sup> بررسی می‌کند. استفاده از تعداد زیاد عملگرهای منطقی در الگوریتم و مسیرهای مخابراتی متعدد، اشکال اصلی روش پیشنهادی است.

در [۳۶]، حمله تزریق داده‌های نادرست در تنظیمات رله اضافه جریان شناسایی می‌شود. شبیه‌سازی مونت کارلو برای آموزش مجموعه داده‌ها و بارگذاری دستورات شرطی با استفاده از روش طبقه‌بندی تقریبی انجام می‌شود. روش پیشنهادی اصول حفاظت تطبیقی را بر اساس تغییر نقاط تنظیم برخط رله‌ها اجرا نمی‌کند. علاوه بر این، نفوذ انرژی‌های تجدیدپذیر در روش پیشنهادی در نظر گرفته نشده است. در [۳۷]، آسیب‌پذیری طرح‌های حفاظتی مبتنی بر سیستم‌های مخابراتی در رله دیستانس خط انتقال در طول حمله توقف سرویس دهی و تزریق داده‌های نادرست بررسی شده است. روش‌های مخابراتی فیزیکی پیشنهاد شده در این مرجع به اندازه کافی برای مقابله با حملات سایبری تزریق داده‌های نادرست مؤثر نیستند. در [۳۸] حملات سایبری توپولوژیکی مستقیم مانند حمله اضافه شدن خط، حمله حذف خط و حمله تغییر خط با هدف ایجاد اختلال در سیستم قدرت معرفی شده است. یک الگوریتم بهینه‌سازی فرا ابتکاری جدید مانند الگوریتم تجمع طبیعی برای تشخیص استفاده می‌شود. این پژوهش تاثیر وقوع یک حمله سایبری را بر سیستم قدرت نشان می‌دهد و بهتر است حملات سایبری هماهنگ در چند نقطه اجرا شود.

<sup>16</sup> synchrophasor

<sup>14</sup> Expected Load Curtailment

<sup>15</sup> Replay

عادی شبکه می‌باشد. معمولاً انتخاب مقادیر آستانه پیک آپ بر اساس یک اصل مشخص است و مقدار آن عددی است بین حداکثر جریان بار آن فیدر و حداقل جریان خطای اتصال کوتاه سیستم و به صورت رابطه ذیل:

$$I_{load-max} \leq I_{pick-up} \leq I_{fault-min} \quad (4)$$

بدیهی است که تنظیمات جریان برای رله‌های اضافه جریان باید بالاتر از جریان بار فیدر باشد و جریان بار ملاک عمل نیست. در واقع، برای انتخاب صحیح تنظیمات جریان پیک آپ، باید حداکثر شرایط بارگذاری ممکن را در نظر گرفت. یک قانون سرانگشتی این است که جریان پیک آپ رله را روی  $1/25$  برابر حداکثر جریان بار و یا  $\frac{2}{3}$  حداقل جریان خطا تنظیم نمود. انتخاب مقدار آستانه باید حدود عملی تنظیم رله را رعایت کند که معمولاً بین ۵۰ تا ۲۰۰ درصد جریان نامی رله است [۳۵].

برای ایجاد امنیت بیشتر، رله‌های اضافه جریان را می‌توان به واحدهای آشکارساز اختلال تجهیز نمود تا قبل از صدور فرمان تریپ توسط رله، وارد عمل شود. این بخش یک آشکارساز اختلال حساس به جریان است که بر عملکرد رله‌های اضافه جریان نظارت می‌کند. معمولاً انواع تجاری رله‌های اضافه جریان برای تشخیص اختلالاتی از قبیل تغییرات بار، از دست رفتن تحریک و یا عملیات کلید زنی که منجر به انحراف فرکانس یا نوسانات توان می‌شوند مجهز می‌شوند. مطالعات نشان می‌دهند که انحراف فرکانس ۳ هرتز موجب می‌شود که حداکثر نامتعادلی خروجی جریان  $0.15I_{nominal}$  باشد که در این صورت رله دچار تشخیص نادرست نمی‌شود. شایان ذکر است در حالت نوسانات توان در صورتی که تفاوت فرکانس دو باس مجاور حداکثر  $1/8$  هرتز باشد عملکرد رله اضافه جریان صحیح خواهد بود. هدف اصلی این بخش در مورد حملات سایبری رله اضافه جریان دیجیتال است. با توجه به مرور مقالات انجام شده اضافه کردن بخشی به مشخصه رله اضافه جریان شامل محاسبه اختلاف جریان‌ها در نقاط مذکور به عنوان نوآوری مدل پیشنهادی می‌باشد که

این مقاله یک سیستم قدرت استاندارد را در طول انواع متداول حملات سایبری پیاده‌سازی می‌کند تا اثرات دینامیکی القایی روی سیگنال‌های الکتریکی را ارائه کند.

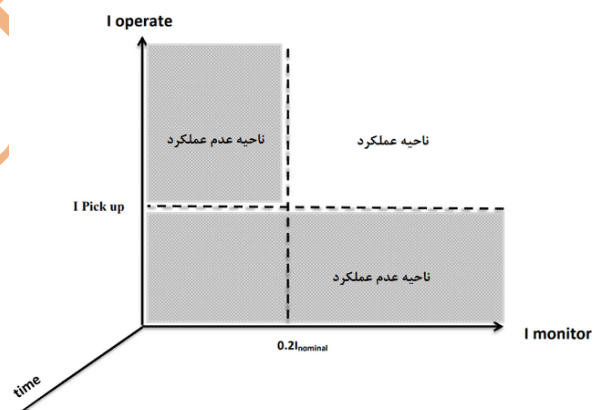
### ۳-۱- مدل پیشنهادی رله اضافه جریان

اصول عملکرد رله‌های اضافه جریان متداول به صورت پایش جریان ورودی به رله و عبور آن از یک مقدار آستانه و به عبارتی پیک آپ رله می‌باشد.

در مدل پیشنهادی علاوه بر جریان عملکرد ( $I_{op}$ )، پارامتر دیگری تحت عنوان جریان پایش ( $I_{mon}$ ) به ترتیب ذیل برای رله اضافه جریان بر مبنای اندازه‌گیری فازوری تعریف می‌شوند.

$$I_{op}[k] = |I_n[k]| \quad (1)$$

$$I_{mon}[k] = \left| \frac{I_n[k] - I_n[k-N] - \dots}{I_n[k-N] - I_n[k-2N]} \right| \quad (2)$$



شکل ۱- مشخصه پیشنهادی رله اضافه جریان

که در آن  $|I_n[k]|$  فازور جریان در خط  $n$  ام تحت حفاظت در نمونه  $k$  ام و  $I_n[k-N]$  فازور جریان یک سیکل قبل و  $I_n[k-2N]$  فازور جریان دو سیکل قبل از نمونه می‌باشد. بر اساس این مدل رله اضافه جریان هنگامی وارد ناحیه عملکرد می‌شود که شرایط زیر برقرار باشد:

$$I_{op}[k] \geq I_{Pick-up} \ \& \ I_{mon}[k] \geq 0.2I_{nominal} \quad (3)$$

که در آن  $I_{Pick-up}$  جریان برداشت رله اضافه جریان و  $I_{nominal}$  جریان نامی خط مورد حفاظت در شرایط کارکرد

می تواند به طور مستقیم و غیر مستقیم در تشخیص حملات به کار رود.

### ۳-۲- مدل پیشنهادی حملات سایبری

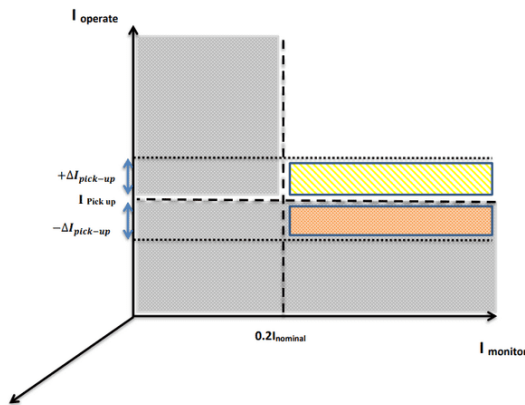
بر اساس گزارش منتشر شده توسط NERC در مورد عملکرد نادرست رله های حفاظتی، بیش از ۲۰ درصد از خطاهای این بخش به دلیل اختلال عملکرد کلیدهای قدرت و رله ها رخ می دهد [۳۹]. حمله سایبری یکی از دلایل احتمالی عملکرد غیرعادی رله ها به دلیل نفوذ هکرها در نقاط آسیب پذیر نرم افزارها و کانال های اطلاعاتی در سیستم قدرت می باشد. در چنین حالتی، بررسی رفتار عملیاتی سیستم قدرت بسیار مهم است. در میان حملات سایبری مختلف، حملات تزریقی که به عنوان حملات تزریق داده های نادرست (FDI) نیز شناخته می شوند، شامل تزریق پاسخ، تزریق اندازه گیری و تزریق فرمان، حملات DoS و حمله تکرار بیشترین امکان را دارند. تزریق های فرمان به سه دسته MPC<sup>17</sup>، MFC<sup>18</sup> و MSCI<sup>19</sup> گروه بندی می شوند. این بخش مدل پیشنهادی حملات سایبری از نوع تزریق داده نادرست شامل تغییر مقادیر تنظیمی و تغییر در داده های اندازه گیری جریان ورودی، حملات توقف سرویس دهی و حمله تکرار در رله های اضافه جریان را ارائه می نماید. در اینجا فرض بر این است که رله های اضافه جریان به واحد آشکارساز اختلال مجهز می باشد. بنابراین برای رله دو مقدار آستانه یکی برای عملکرد واحد آشکارساز اختلال و دیگری به عنوان جریان پیک آپ و صدور سیگنال تریپ از رله به طرف بریکر تنظیم می شود.

#### • تغییر مقادیر تنظیمی رله اضافه جریان

در این نوع حمله مهاجم پارامترهای تنظیمی تجهیز را تغییر می دهد و باعث می شود سیستم اقدامات کنترلی نادرستی انجام دهد. تغییر نقاط تنظیم منجر به تغییرات بعدی در رفتار سیستم می شود. این نوع حمله از نوع MPC<sup>17</sup> است که در آن مقادیر تنظیمی آستانه در رله حفاظتی تغییر می کند. این حملات متعاقباً منجر به خرابی ناگهانی سیستم می شود. یکی از انواع اصلی حملات به ویژگی یکپارچگی داده ها حمله نقطه تنظیم

تغییر یافته کنترل و تغییر مقادیر از پیش تعریف شده رله اضافه جریان است که باعث اختلال در عملکرد رله های حفاظت دیجیتال می شود. در این حملات، مهاجم با دسترسی به کانال های ارتباطی، الگوریتم های کنترل و حفاظت، رله های دیجیتال را هک کرده و آن ها را به دلخواه هدایت می کند. اثر نهایی این حملات، عملکرد نادرست کلیدهای مدار، قطع بدون دلیل خطوط انتقال برق بدون بروز نقص فیزیکی و یا متصل نگه داشتن خطوط برق در هنگام اتصال کوتاه است. بنابراین، مدل سازی حمله تغییر مقادیر تنظیمی رله اضافه جریان با هدف دستکاری یکپارچگی می تواند به صورت دستکاری در مقادیر جریان پیک آپ رله تنظیم شود. در واقع در این حمله در صورت دسترسی به تنظیمات رله و پایگاه داده آن می تواند با کم کردن مقدار تنظیمی جریان و یا زیاد کردن آن رله را دچار اشتباه در تشخیص نماید. به طوری که با کم کردن آن حالات پر باری را مشابه با وقوع خطا دیده و با زیاد کردن آن از تشخیص خطاها جلوگیری نماید.

رابطه (۵) بیان ریاضی حمله مقدار تنظیمی رله اضافه جریان را از دید مهاجم نشان می دهد:



شکل ۲- حمله تغییر مقادیر تنظیمی رله اضافه جریان در مشخصه پیشنهادی

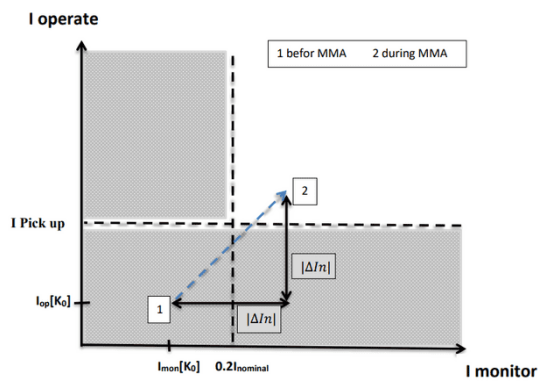
$$I_{(pick-up)}^m = |I_{(pick-up)}| \pm |\Delta I_{(pick-up)}| \quad (5)$$

که در آن  $|\Delta I_{(pick-up)}|$  و  $I_{(pick-up)}^m$  به ترتیب میزان تغییر آستانه پیک آپ رله توسط مهاجم و مقدار نهایی آستانه رله پس از حمله می باشند.

<sup>17</sup> Malicious Parameter Command Injection

<sup>18</sup> Malicious Function Code Injection

<sup>19</sup> Malicious State Command Injection



شکل ۳- حمله تغییر دامنه جریان اندازه‌گیری شده ورودی به رله اضافه جریان در مشخصه پیشنهادی

هنگامی که مهاجم جریان  $|\Delta I_n|$  را به کمیت جریان اندازه‌گیری شده و ارسالی به رله اضافه می‌کند نقطه عملکرد رله از حالت ۱ روی نمودار به حالت ۲ تغییر وضعیت می‌دهد.

این قبیل دستکاری از طریق مسیرهای مخابراتی منتهی به رله‌های اضافه جریان قابل دسترس مهاجمین می‌باشد.

#### • توقف سرویس دهی در رله اضافه جریان

حمله DoS توسط هرکس برای جلوگیری از عملکرد رله‌ها در زمان مقتضی و برنامه‌ریزی شده می‌باشد. این نوع حمله مسیرهای ارتباطی یک سیستم را دستخوش تغییر قرار می‌دهد به طوری که به دیگر درخواست‌ها پاسخ نمی‌دهد در چنین شرایطی است که مهاجم با اشغال بیش از حد ظرفیت کانال‌های ارتباطی و ارسال ترافیک بیش از حد بر ویژگی در دسترس بودن اطلاعات به دست آمده تأثیر می‌گذارد. حمله DoS را می‌توان به دو شکل مدل‌سازی کرد. در مورد اول، حمله DoS به طور مداوم عملکرد رله‌ها را در هنگام خطا و موقعیت‌های اضطراری با انتقال اطلاعات مخرب به IED مورد نظر مسدود می‌کند. بنابراین رله‌ها مأموریت اصلی خود یعنی ارسال فرمان به موقع به کلیدهای مدار را انجام نمی‌دهند. در این حالت منطق عملکردی از پیش تعریف شده در رله است در صورت بروز هر گونه خطا به کلیدهای مدار ارسال نمی‌شود.

#### • تغییر جریان اندازه‌گیری ورودی به رله اضافه جریان

به منظور هدایت رله اضافه جریان به ناحیه عملکرد و صدور فرمان، مهاجم می‌تواند دامنه و زاویه فاز را دستکاری نماید. بنابراین در طول حمله تزریق داده غلط اگر جریان اندازه‌گیری شده از  $(|I_n| < \theta_n)$  به صورت  $(|I_n| + |\Delta I_n| < \theta_n + \Delta \theta_n)$  تغییر پیدا کند. در این صورت جریان عملکرد دستکاری شده در طول حمله سایبری مطابق ذیل خواهد بود.

$$I_{op}^m[k] = \left| |I_n| + |\Delta I_n| < (\theta_n + \Delta \theta_n) \right| \quad (6)$$

در صورتی که در شبکه اتصال کوتاهی مطرح نباشد و صرفاً یک حمله سایبری به اندازه و زاویه جریان اندازه‌گیری شده صورت گرفته باشد با فرض اینکه جریان پایش قبل از شروع حمله  $I_{mon}[k_0]$  باشد در این صورت در زمان شروع حمله  $I_{mon}[k_0] + |\Delta I_n|$  خواهد بود. بنابراین برای اینکه مهاجم بتواند تریپ خط را صادر کند باید دامنه و زاویه جریان دستکاری شده به گونه‌ای انتخاب شده باشد که جریان حاصله وارد ناحیه عملکرد رله شود و شرط عبور از مقدار پیک آپ رله و بزرگتر بودن از  $0.2$  جریان نامی را داشته باشد. پس زمانی که رله‌های اضافه جریان مقادیر اندازه‌گیری شده خود را دریافت می‌کند می‌بایست مقدار  $I_{mon}[k_0]$  برای تمام لحظات برای مهاجم قابل مشاهده باشد تا بتواند با تزریق در دامنه و فاز جریان اقدام به حمله نماید. حمله Magnitude Modification Attack به مفهوم تغییر در دامنه جریان اندازه‌گیری شده و ارسالی به رله می‌باشد.

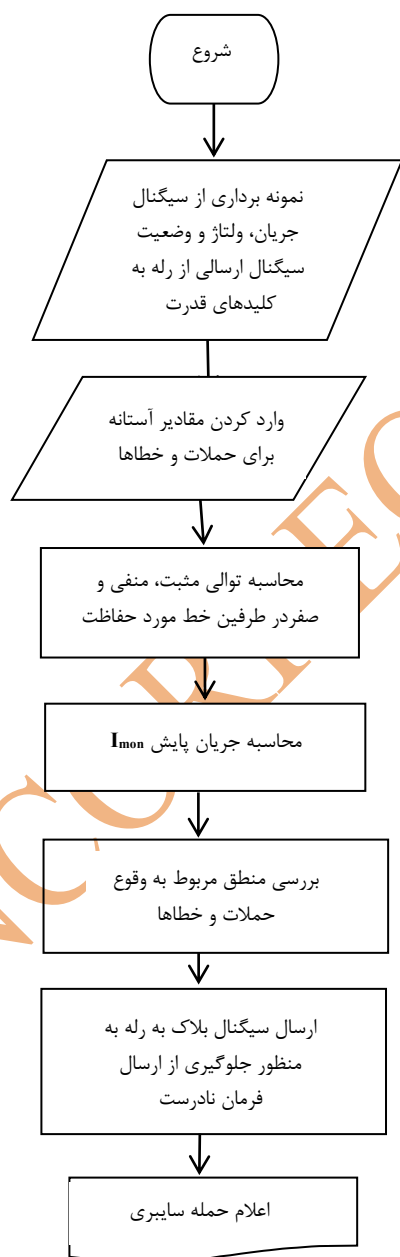


کانال های مخابراتی و با استفاده از نرم افزار MATLAB/Simulink مدل سازی شده اند. بنابراین در این بخش مدل پیشنهادی رله اضافه جریان در حملات سایبری مختلف مورد بررسی قرار گرفت و بستر جدیدی برای شبیه سازی حملات تحمیلی توسط مهاجم در این نوع رله ارائه گردید.

### ۳-۳- الگوریتم پیشنهادی تشخیص حملات

#### سایبری

الگوریتم کلی تشخیص در شکل زیر نشان داده شده است:



شکل ۴- فلوچارت پیشنهادی برای تشخیص حمله سایبری

شود. در مورد دوم حمله DoS، مهاجم از عملکرد رله ها و ارسال دستورات مناسب در صورت بروز خطا برای مدت زمان محدودی جلوگیری می کند. به عبارت دیگر، این نوع حمله با ایجاد تاخیر (عدم ارسال فرمان فوری) در سیگنال تریپ به کلید قدرت در هنگام بروز خطا اجرا می شود. سیگنال تزریق شده چنین حمله ای به صورت زیر بیان می شود:

$$S = e^{-T_0 t} \times \text{trip signal} \quad (7)$$

که در آن  $T_0$  یک کمیت عددی مثبت است که توسط مهاجم مشخص می شود به نحوی که خروجی رله حفاظتی با تاخیر به کلید قدرت ارسال شود. این مقاله به بررسی اثر حمله DoS از نوع دوم توضیح داده شده در بالا می پردازد.

#### • حمله تکرار در رله اضافه جریان

حمله تکرار یک استراتژی جعل داده است که در آن یک داده معتبر تکرار شده است. هنگام وقوع این گونه حملات، مهاجمان می توانند داده های ثبت شده از یک پایگاه داده در معرض خطر یا ضبط کننده داده در مدت زمان معین را تکرار کنند. بنابراین مهاجمان می توانند برای نفوذ به شبکه از راه دور به اطلاعات دسترسی پیدا کنند و ممکن است به سادگی ترافیک شبکه را شنود کنند. آنها می توانند مجموعه ای از داده های اختلالات رخ داده قبلی را با استفاده از یک ضبط کننده خطای دیجیتال (DFR) یا بر اساس گزارش وضعیت کلیدهای قدرت در یک بازه زمانی معین ثبت کنند. در این حالت مهاجم اطلاعات ثبت شده رویداد قبلی را در همان مورد نظر شبکه هدف (جریان ورودی به رله) برای شبیه سازی مجدد آن رویداد ارسال نموده، که ممکن است با ارسال فرمان تریپ نادرست برای کلیدهای قدرت منجر به خاموشی شبکه می شود. تشخیص چنین حمله ای بدون بررسی بیشتر اطلاعات واقعی دشوار است و چنین حملاتی معمولاً محدودیت زمانی عملیاتی کلیدهای قدرت را نقض می کند. تمام حملات سایبری ذکر شده با در نظر گرفتن

الگوریتم شماره ۲ برای دو حمله تزریق نادرست جریان و حمله تکرار کاربرد دارد. در تمام الگوریتم‌های بالا در صورتی که حمله همزمان به رله‌های دو طرف خط صورت گیرد، شرایط در پشت باس مورد بررسی قرار می‌گیرد.

الگوریتم ۲: تشخیص حمله سایبری تزریق جریان نادرست

```

1: Input :  $I, V, Command Signal$ 
2: Initialize :  $\delta_i, i \in \{1, \dots, 12\}, I_{pick-up_j}$ 
3: for  $j=1,2$  do
4: Calculate :  $I_{PS_j}, I_{NS_j}, V_{PS_j}, V_{NS_j}, I_{mon_j}$ 
5: if  $I_{PS_j} \geq \delta_i \& V_{PS_j} \geq \delta_i \& V_{NS_j} = I_{NS_j} = 0 \dots$ 
    $I_{op_j} \geq I_{pick-up_j} \& I_{mon_j} \geq 0.2I_{nominal_j}$ , then
6:  $block \rightarrow Command Signal$ 
7: else
8: break
9: end if
10: end for
11: return

```

الگوریتم ۳: تشخیص حمله سایبری توقف سرویس دهی

```

1: Input :  $I, V, Command Signal$ 
2: Initialize :  $\delta_i, i \in \{1, \dots, 12\}, I_{pick-up_j}, \beta$ 
3: for  $j=1,2$  do
4: Calculate :  $I_{PS_j}, I_{NS_j}, V_{PS_j}, V_{NS_j}, I_{mon_j}$ 
5: if  $I_{PS_j} \geq \delta_i \& V_{PS_j} \leq \delta_i \& V_{NS_j} = I_{NS_j} = 0 \dots$ 
    $I_{op_j} \geq I_{pick-up_j} \& I_{mon_j} \geq 0.2I_{nominal_j} \dots$ 
    $\& diff(Command Signal) \geq 0$  then
6:  $send \rightarrow Command Signal$  with delay
7: else
8: break
9: end if
10: end for
11: return

```

در الگوریتم شماره ۳ تشخیص بر اساس تفاوت فرمان ارسالی قطع رله‌ها به سمت کلید مربوطه و پایدار ماندن آن از یک مقدار زمان تاخیر معین  $\beta$  بر اساس تنظیمات قبلی منطق (با حداقل زمان یک سیکل کامل معادل ۱۷ میلی ثانیه و انجام محاسبات توالی) و پیش از زمان باز شدن کلید توسط حمله می‌باشد.

در این بخش یک روش تشخیص جدید برای حملات سایبری در رله‌های اضافه جریان معرفی می‌شود. این روش از ترکیب فازور تمام سیکل مقادیر اندازه‌گیری شده جریان و ولتاژ و محاسبه توالی مثبت و منفی آنها در باس‌های سیستم و مقایسه آنها با مقادیر آستانه از پیش تعیین شده، وضعیت فرمان‌های ارسالی از رله‌ها به کلیدهای قدرت، وقوع pick-up رله اضافه جریان و بررسی جریان پایش  $I_{mon}$  و عبور مقدار آن از  $0.2$  جریان نامی خط مورد حفاظت استفاده می‌نماید. سپس در بازه زمانی مجاز عملکرد رله و پیش از ارسال فرمان تریپ برای خط انتقال، واحد تشخیص حمله سایبری شروع به محاسبات نموده و در صورت تشخیص حمله، به صورت مقتضی فرمان تریپ در رله بلاک و یا به آن ارسال می‌گردد. در ادامه به بررسی منطق و شبه کد مربوط به تشخیص حملات سایبری به تفکیک می‌پردازیم.

الگوریتم ۱: تشخیص حمله سایبری تغییر مقدار تنظیمی رله

```

1: Input :  $I, V, Command Signal$ 
2: Initialize :  $\delta_i, i \in \{1, \dots, 12\}, I_{pick-up_j}$ 
3: for  $j=1,2$  do
4: Calculate :  $I_{PS_j}, I_{NS_j}, V_{PS_j}, V_{NS_j}, I_{mon_j}$ 
5: if  $I_{PS_j} \geq \delta_i \& V_{PS_j} \leq \delta_i \& V_{NS_j} = I_{NS_j} = 0 \dots$ 
    $I_{op_j} \leq I_{pick-up_j} \& I_{mon_j} \geq 0.2I_{nominal_j}$ , then
6:  $send \rightarrow Command Signal$ 
7: else if  $I_{PS_j} \leq \delta_i \& V_{PS_j} \geq \delta_i \& V_{NS_j} = I_{NS_j} = 0 \dots$ 
    $I_{op_j} \geq I_{pick-up_j} \& I_{mon_j} \leq 0.2I_{nominal_j}$ , then
8:  $block \rightarrow Command Signal$ 
9: else
10: break
11: end if
12: end for
13: return

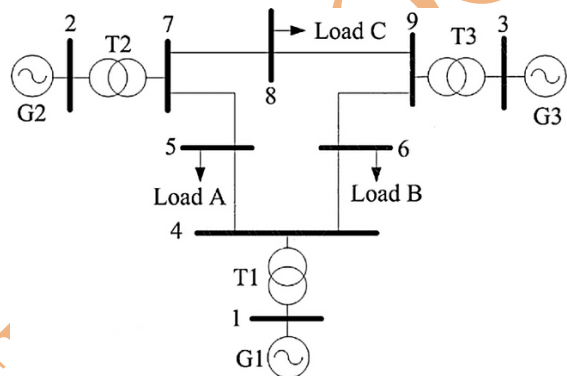
```

الگوریتم شماره ۱ با داشتن مقادیر آستانه  $\delta_i$  برای ولتاژ و جریان توالی مثبت و منفی در انواع خط‌های متقارن، غیر متقارن و در حالت حمله تغییر مقدار تنظیمی رله (افزایش یا کاهش) برای تشخیص استفاده می‌شود.

در روش پیشنهاد شده مشکل اصلی روش‌های پیشین مقالات یعنی وابستگی طرح تشخیص به داده‌های از پیش آموزش داده شده، توپولوژی و طرح حفاظتی شبکه مرتفع شده و صرفاً بر اساس شرایط واقعی شبکه می‌توان به تشخیص و مقابله با حملات پرداخت.

#### ۴- سیستم قدرت مورد مطالعه

مدل استاندارد IEEE شامل سه ماشین و نه باس برای شبیه‌سازی حملات سایبری در نظر گرفته شده است (شکل ۵).



شکل ۵- سیستم استاندارد سه ماشین و نه باس WSCC

مجموع ۳۱۵ مگاوات بار در شبکه وجود دارد و سه ژنراتور یک، دو و سه با ظرفیت‌های ۲۴۷/۵، ۱۹۲ و ۱۲۸ مگا ولت آمپر و سطوح ولتاژ ۱۶/۵، ۱۸، و ۱۳/۸ کیلو ولت وظیفه تامین بارهای موجود را بر عهده دارند. ژنراتور اول به عنوان یک باس بی نهایت به باس شماره یک و ژنراتورهای ۲ و ۳ به ترتیب به باس دوم و سوم متصل می‌شوند. سه ترانسفورماتور افزاینده ۱۰۰ مگاوات آمپر با ضریب تبدیل ۱۸/۲۳۰ کیلوولت، ۱۳/۸/۲۳۰ کیلوولت و ۱۶/۵/۲۳۰ کیلوولت وظیفه تطبیق ولتاژ خروجی ژنراتورها با ولتاژ سطح انتقال را بر عهده دارند.

ولتاژ مبنای شبکه ۲۳۰ کیلو ولت است. سطح ولتاژ پایه برای ژنراتورها با سمت فشار ضعیف ترانسفورماتور یکسان در نظر گرفته می‌شود و بنابراین برای ترانسفورماتور واقع بین دو شین شماره ۲ و ۷ این مقدار برابر ۱۸ کیلو ولت، ترانسفورماتور بین دو شین شماره ۳ و ۹ برابر ۱۳.۸ کیلو ولت و برای ترانسفورماتور واقع بین شین ۱ و ۴ برابر ۱۶/۵ کیلو ولت است.

رله‌های اضافه جریان با دریافت مقادیر جریان ثبت شده توسط زیرساخت‌های اندازه‌گیری پیشرفته در سراسر شبکه و پست‌ها، فرمان مناسب را به کلیدهای مدار ارسال می‌کنند. در این مقاله هکر رله دیجیتال بین شین‌های ۷ و ۵ را هدف قرار داده و انواع حملات سایبری را به سیستم تحمیل می‌کند و از این طریق فرمان خروجی رله اضافه جریان به سمت کلیدهای قدرت را دچار اختلال می‌کند. فرکانس سیستم مورد مطالعه ۶۰ هرتز بوده و در مجموع سه بار با توان‌های ۱۰۰، ۱۲۵ و ۹۰ مگاوات به ترتیب به باس‌های شماره ۸، ۵ و ۶ متصل می‌شود. شش خط انتقال، باس‌های این شبکه را به هم متصل می‌کند. خلاصه‌ای از اطلاعات شامل داده‌های بار و داده‌های خط انتقال به ترتیب در جدول ۲ و جدول ۳ در پیوست [۴۰] موجود است.

#### ۵- نتایج شبیه‌سازی

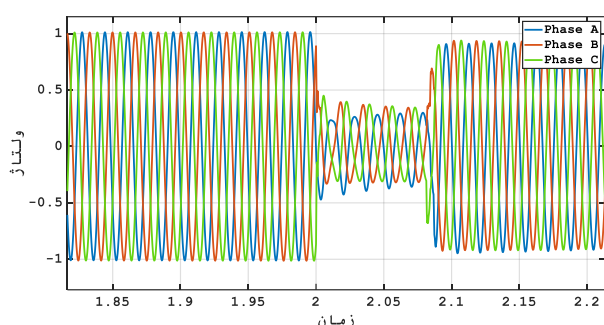
مدل استاندارد IEEE سه ماشین و نه باس برای شبیه‌سازی در محیط MATLAB/Simulink در نظر گرفته شده است. زمان نمونه برداری و نرخ نمونه برداری این شبیه‌سازی به ترتیب ۵۰ میکروثانیه و ۲۰ کیلوهرتز است. یک خطای ۳ فاز به زمین و چند نمونه حمله سایبری متداول برای شبکه مفروض پیاده‌سازی شده و اثرات دینامیکی خطاها و حملات به طور جداگانه تجزیه و تحلیل می‌شوند. در این مقاله، فرض بر این است که هکر عملکرد یک ایستگاه فرعی را کنترل می‌کند، که تا حدودی با واقعیتی که مهاجم اطلاعات محدودی در مورد سیستم دارد، مطابقت دارد. حملات سایبری رله‌های آسیب‌پذیر را دستکاری می‌کنند. به دلیل ایجاد اختلال در عملکرد رله، سیستم قدرت رفتار دینامیکی غیرمنتظره‌ای را تجربه می‌کند که ممکن است منجر به خاموشی شود. سناریوهای مختلف به همراه اثرات دینامیکی آنها بر روی سیستم قدرت در زیر بررسی شده است.

#### ۵-۱- اثر خطای متقارن سه فاز

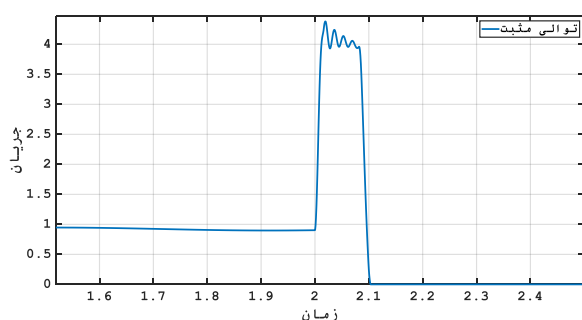
ابتدا، اثر خطای اتصال کوتاه سه فاز به زمین تحلیل می‌شود. همانطور که مشخص است رله‌های اضافه جریان با دریافت مداوم تغییرات جریان از طریق CT ها و انجام محاسبات داخلی افزایش جریان بیش از حد معمول را

تدریج می‌شوند و سیستم قدرت پس از رفع خطا به حالت پایداری باز می‌گردد. ولتاژ سه فاز در هر دو باس در حالت خطا به سمت صفر کاهش می‌یابد و پس از رفع آن به مقدار قبلی همگرا می‌شود.

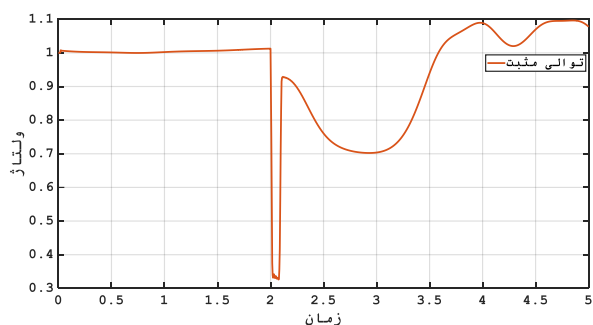
نتایج جریان و ولتاژ توالی مثبت در باس ۷ در شکل‌های زیر نشان داده شده است. با توجه به اینکه خطای سه فاز رخ داده مقادیر توالی منفی در تشخیص این نوع خطا لحاظ نمی‌شود.



شکل ۸- ولتاژ در باس ۷



شکل ۹- والی مثبت جریان باس ۷

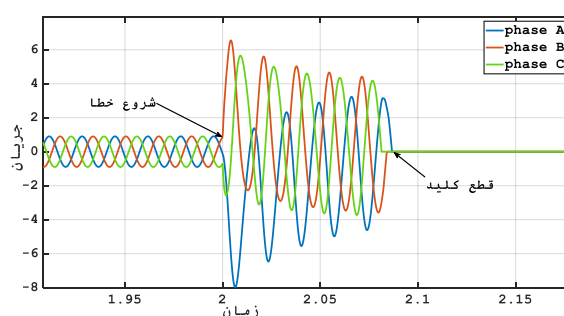


شکل ۱۰- توالی مثبت ولتاژ باس ۷

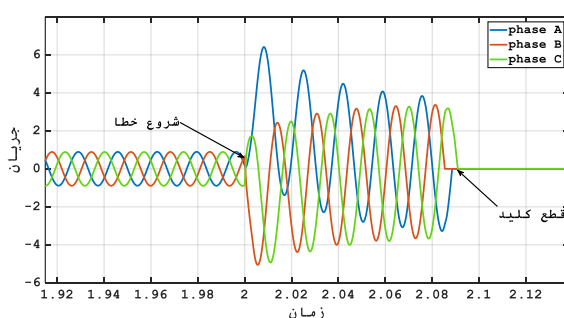
## ۵-۲- اثر حمله تغییر مقدار تنظیمی رله اضافه جریان

هنگام راه اندازی سیستم قدرت، یک لیست تنظیمات برای پیکربندی رله‌ها استفاده می‌شود که در آن مقادیر آستانه تنظیم می‌شود. برای تشخیص عیوب شبکه باید تنظیمات رله‌ها به دقت انجام شود تا در مواقع نیاز

تشخیص می‌دهند و با ارسال فرمان تریپ به کلید قدرت خطا را برطرف می‌کنند. عموماً در شرایط خطای جریان گذرا و در صورت عدم وجود ریکلوزر، اپراتور باید در محل تابلو حضور پیدا کند و رله لاک اوت را ریست کند تا امکان اتصال مجدد کلید قدرت فراهم شود. با این حال، چنین الزامی برای خطاهای ولتاژی وجود ندارد و به محض رفع عیب، سیستم آماده اتصال مجدد است. در خطاهای جریان دائمی، امکان وصل مجدد کلید پس از رفع منشا خطا وجود دارد. این بخش یک خطای جریان دائمی را شبیه‌سازی می‌کند. یک خطای سه فاز به زمین با  $R_g = 0.01$  اهم (مقاومت زمین) در  $t=2$  ثانیه در وسط خط شماره ۵-۷ اعمال می‌شود. رله‌های دو طرف خط مربوط به پست شماره ۷ و شماره ۵ با تشخیص افزایش سطح جریان نسبت به مقدار تعریف شده، فرمان قطع را به کلیدهای قدرت ارسال می‌کنند. جریان خطا در باس ۷ و باس ۵ به ۶ پریونیت افزایش می‌یابد و بنابراین رله اضافه جریان به سرعت این وضعیت غیرعادی را تشخیص می‌دهد.



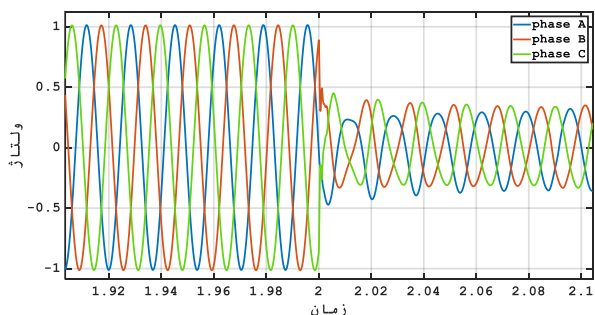
شکل ۶- جریان خطا از سمت باس ۷



شکل ۷- جریان خطا از سمت باس ۵

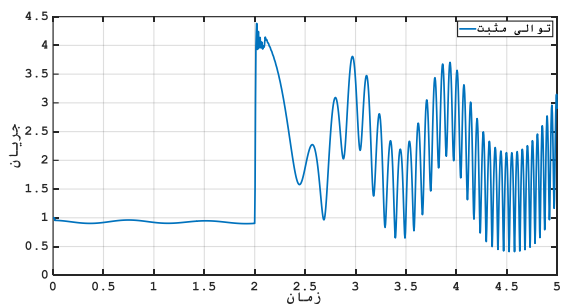
فرآیند ارسال فرمان و قطع کلید پس از ۴ سیکل تکمیل می‌شود که در حد استانداردهای عملی سیستم قدرت می‌باشد. توانهای اکتیو تحویلی ژنراتورها و زوایای بار در اثر این خطا دارای نوسان هستند. این گونه نوسانات به

ولتاژ در باس ۷ در طول حمله مانند شکل نزدیک به صفر باقی می ماند و در اطراف آن نوسان می کنند.

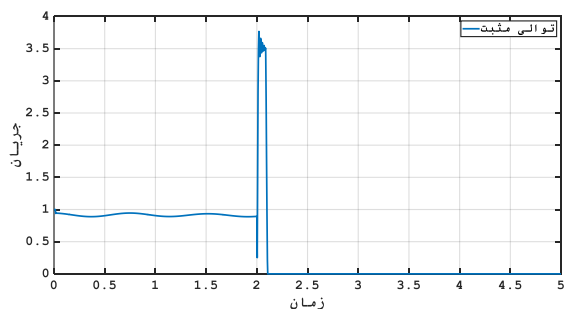


شکل ۱۲ - ولتاژ در باس ۷

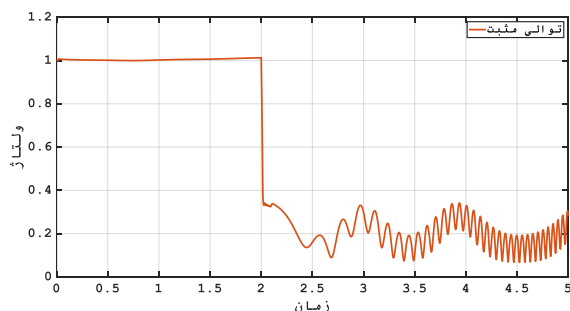
در این حالت که حمله سایبری صرفاً به رله شماره ۷ صورت گرفته رله شماره ۵ فرمان قطع را به کلید مربوطه ارسال می کند و جریان تغذیه خط از طرف باس ۵ به صفر می رسد و ولتاژ این باس تقریباً به یک پریونیت برمی گردد نتایج جریان و ولتاژ توالی مثبت در باس های ۷ و ۵ در شکل های زیر نشان داده شده است.



شکل ۱۳ - توالی مثبت جریان باس ۷

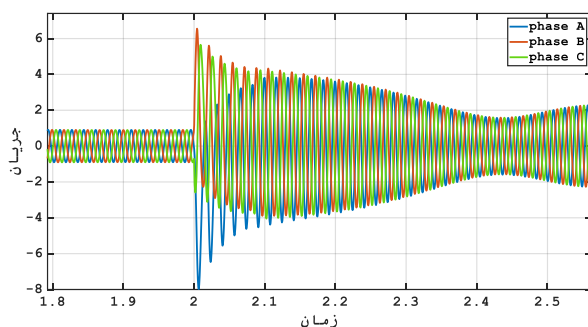


شکل ۱۴ - توالی مثبت جریان باس ۵



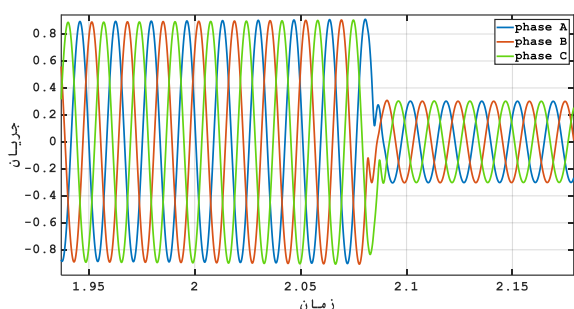
شکل ۱۵ - توالی مثبت ولتاژ باس ۷

بتوانند فرمان مقتضی را به کلیدها ارسال کنند. هر گونه دستکاری در مقادیر تنظیمی رله ها یک حمله سایبری است. اگر هر یک مقادیر آستانه را افزایش دهد، خطای اتصال کوتاه توسط رله تشخیص داده نمی شود و کلیدها در چنین شرایط غیرعادی عمل نمی کنند و خطا ایزوله نمی شود. از طرفی در صورت کاهش مقادیر آستانه در اثر حمله، این امکان وجود دارد که هر گونه افزایش بار سیستم به عنوان خطا در نظر گرفته شود و دستور تریپ توسط رله ارسال شود. در این بخش حمله فوق برای مدل استاندارد IEEE با در نظر گرفتن ارسال فرمان از طریق کانال های مخابراتی پیاده سازی شده است. طبق استانداردها، مقدار جریان پیک آپ دو برابر (برابر ۲۰۰٪) جریان نامی رله خط مورد حفاظت ۵-۷ می باشد. بنابراین در این نوع حملات فرض بر این است که هر یک با هجوم و نفوذ به تنظیمات رله ها و تغییر تنظیمات از پیش تعریف شده آنها، مقدار جریان پیک آپ رله شماره ۷ را از ۲pu به ۱۵ pu افزایش می دهد. سپس یک خطای سه فاز به زمین در وسط خط انتقال مفروض در  $t=2$  ثانیه اعمال می شود و در  $t=5$  ثانیه خاتمه می یابد. بنابراین اضافه جریان ناشی از خطا از طریق رله اضافه جریان تشخیص داده نمی شود و علت اصلی آن حمله خرابکارانه و تغییر مقدار تنظیمی رله است. در نتیجه این حمله، کلید نصب شده در باس ۷ به کار خود ادامه می دهد و قطع نمی شود. بنابراین، خطا به طور مداوم در سیستم باقی می ماند و زوایای قدرت ژنراتورها به شدت نوسان می کند که می تواند منجر به ناپایداری کلی سیستم شود. جریان خط از سمت باس ۷ نشان داده شده است. رله و کلید موجود در باس شماره ۵ به عملکرد عادی خود ادامه می دهند.



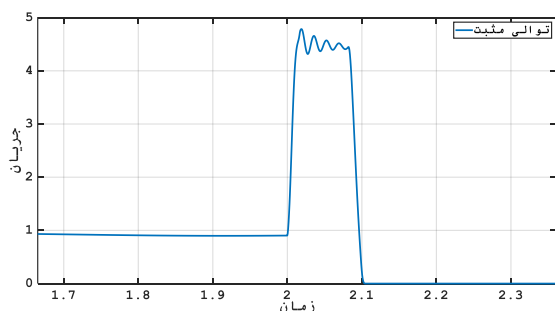
شکل ۱۶ - جریان خط از سمت باس ۷

ولتاژ و وضعیت فرمان‌های ارسالی رله‌های مجاور باشد شرایط خطا را از سناریوهای حمله متمایز می‌کند، به طوری که از باز کردن و بستن غیر ضروری کلیدها جلوگیری می‌شود. منحنی تزریق جریان از سمت باس ۷ و توالی مثبت آن مطابق با حالت خطای سه فاز بوده و کلید مربوط با دیدن خطای کاذب باز می‌شود و جریان به صفر می‌رسد در حالی که جریان باس ۵ به علت باز شدن خط از بالا مانند شکل زیر تغییر کرده و عملاً در مقدار کمی به اندازه شارژ خازنی خط انتقال قرار می‌گیرد.

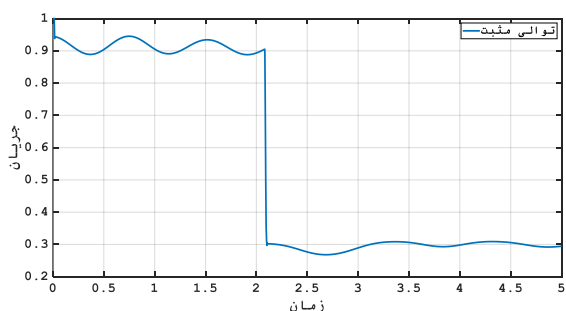


شکل ۱۶- جریان خط از سمت باس ۵

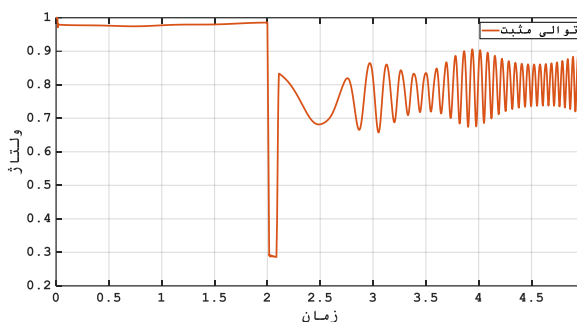
ولتاژ هر دو باس در اثر کلید زنی در باس شماره ۷ نوسان کوچکی داشته و تقریباً بدون تغییر باقی می‌مانند. جریان توالی مثبت و ولتاژ توالی مثبت هر دو باس در ادامه نشان داده شده است.



شکل ۱۷- توالی مثبت جریان باس ۷



شکل ۱۸- توالی مثبت جریان باس ۵



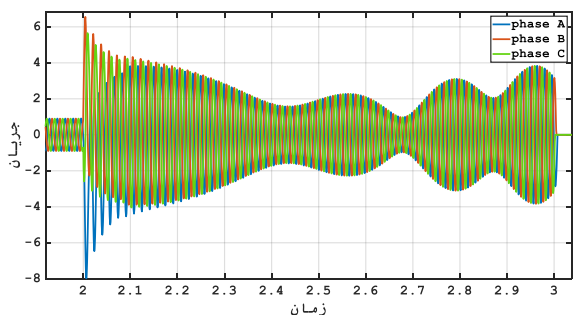
شکل ۱۹- توالی مثبت ولتاژ باس ۵

همان‌طور که از شکل‌ها مشخص است جریان توالی مثبت باس ۷ به صورت نوسانی و افزایشی ادامه دارد و متعاقباً ولتاژ آن افت شدیدی دارد و برای باس ۵ به دلیل عملکرد رله و ارسال فرمان ولتاژ به سمت تثبیت در مقدار قبلی و جریان خطا قطع شده است.

### ۵-۳- اثر حمله تزریق داده نادرست

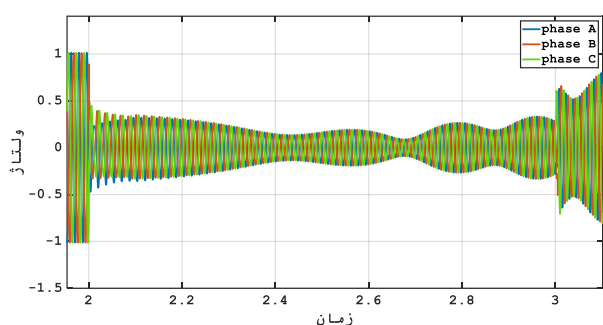
حمله تزریق داده نادرست در این قسمت به صورت تزریق داده جریان ثبت شده خطای قبلی به جریان ورودی به رله است که هم‌زمان به دامنه و فاز جریان حمله صورت می‌گیرد. حمله تکرار به رله حفاظتی اضافه جریان به منظور دستکاری در داده‌های اندازه‌گیری حفاظت انجام می‌شود که در سبب ارسال فرمان نادرست به کلید می‌شود. در این حالت نتایج ثبت شده یک خطای سه فاز به زمین در وسط خط انتقال ۷-۵ در  $t=2$  ثانیه به ورودی جریان اندازه‌گیری رله شماره ۷ تزریق می‌شود. هرگز در اینجا قادر است با دسترسی به کانال‌های ارتباطی داده‌های فرایند قبلی را به ورودی رله تزریق کند. در نتیجه، در حالی که هیچ خطای واقعی در سیستم وجود ندارد، رله شماره ۷ کلید را باز می‌کند. حمله تزریق داده از نوع تکرار ممکن است برای یک واحد کوچک شدید نباشد اما می‌تواند با ایجاد حملات هماهنگ اثرات فاجعه‌باری ایجاد کند. در حین حمله تکرار، در حالی که هیچ نقص واقعی در سیستم وجود ندارد و متعاقباً هیچ اختلالی در جریان بار ولتاژ وجود ندارد سیستم حفاظت اضافه جریان دستخوش یک سناریوی خطای جعلی توسط مهاجم می‌شود. اگر سیستم حفاظتی قادر به مشاهده پارامترهای دینامیکی بلادرنگ شبکه مانند جریان خط،

خطای اتصال کوتاه بیش از زمان تعریف شده استاندارد (۰/۲ ثانیه) باقی بماند و تجهیزات حفاظتی به موقع کار نکنند، شبکه قدرت در مقایسه با حالت رفع عیب به موقع، شرایط ناپایداری را تجربه خواهد کرد [۴۱]. جریان خط از باس ۷ در شکل نشان داده شده است.



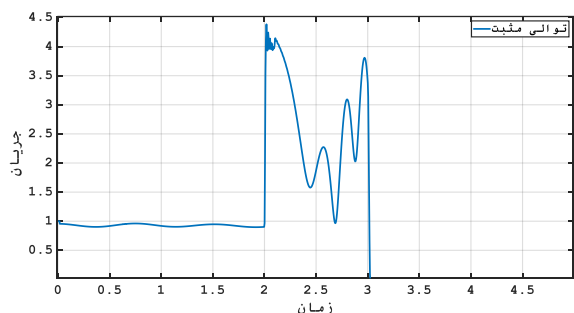
شکل ۲۲- جریان خط از سمت باس ۷

ولتاژ در باس ۷ در طول حمله مانند شکل نزدیک به صفر باقی می ماند و در اطراف آن نوسان می کند و سپس به به مقدار نامی همگرا می شود.

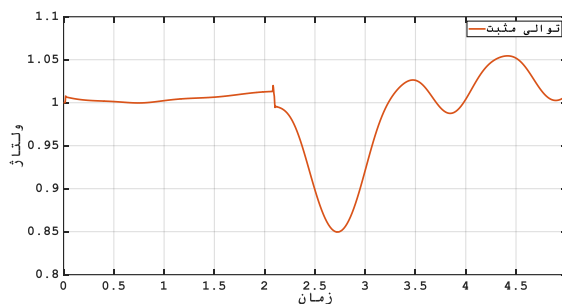


شکل ۲۳- ولتاژ در باس ۷

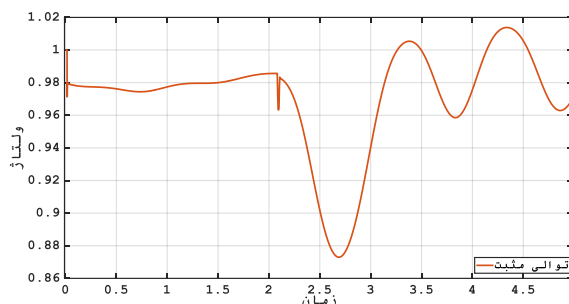
جریان توالی مثبت از سمت باس ۷ مانند شکل زیر تغییر میکند ولی چون رله ۵ مورد حمله واقع نشده کلید آن در زمان مقتضی عمل می کند و توالی مثبت جریان آن بدون تغییر و شبیه به زمان اعمال خطای سه فاز باقی می ماند.



شکل ۲۴ - توالی مثبت جریان باس ۷



شکل ۲۰- توالی مثبت ولتاژ باس ۷



شکل ۲۱- توالی مثبت ولتاژ باس ۵

#### ۵-۴- اثر حمله توقف سرویس دهی

حملات DOS معمولاً با ایجاد تأخیر یا جلوگیری کامل در ارسال دستورات از رله‌های دیجیتال به کلیدها شروع می‌شوند. در حین اجرای این حملات، نفوذگر می‌تواند عملکرد رله‌ها را در سه حالت بلاک کردن، تأخیر و یا رد کردن تنظیم کند و نتیجه یک حمله موفقیت آمیز می‌تواند منجر به خسارات جبران ناپذیری در عملکرد و رفتار دینامیکی سیستم شود.

برای اجرای یک حمله DOS، یک خطای سه فاز به زمین در وسط خط انتقال ۷-۵ در  $t=2$  ثانیه اعمال می‌شود. به دلیل وجود الگوریتم‌های حفاظتی، رله اضافه جریان بلافاصله وقوع عیب را تشخیص می‌دهد، اما فعال شدن حمله توقف سرویس دهی باعث می‌شود که فرمان قطع با تأخیر ۱ ثانیه ارسال شود و سپس کلید قطع شود. اصولاً حداکثر تأخیر قابل قبول هنگام صدور فرمان قطع کلید در شبکه برق که به صورت مجموع تأخیرهای محاسباتی و ارتباطی محاسبه می‌شود، ۴ سیکل در نظر گرفته می‌شود. در این حالت، به دلیل اینکه تأخیر اعمال شده بیشتر از مقدار استاندارد است، باعث ایجاد نوسانات شدید در رفتار دینامیکی سیستم می‌شود. واضح است که اگر

ولتاژ باس ها در بخش شبیه سازی ۵-۱ تا ۵-۴ و استخراج ویژگی های مورد نظر از آنها مطابق ذیل برای تشخیص و مقابله با خطای سه فاز و برخی حملات سایبری استفاده می شود. ابتدا با انجام شبیه سازی خطای سه فاز در  $m=50$  نقطه مختلف از طول خط انتقال و سه نوع حمله سایبری یک مقدار آستانه مشترک برای هر کدام از کمیت های توالی مثبت ولتاژ و جریان در هر باس مطابق ذیل تعیین می شود که عبور از آن یکی از شرایط شروع پروسه تشخیص است:

$$\delta_I = \min \{ \delta_1, \dots, \delta_m \}$$

$$\delta_V = \max \{ \delta_1, \dots, \delta_m \} \quad (۸)$$

با تکرار شبیه سازی در یک حالت بهره برداری مشخص می توان مقادیر آستانه را برای تشخیص تعیین نمود و در صورتی که نقطه کار بهره برداری شبکه تغییر کند این مقادیر در الگوریتم بروز رسانی می شوند.

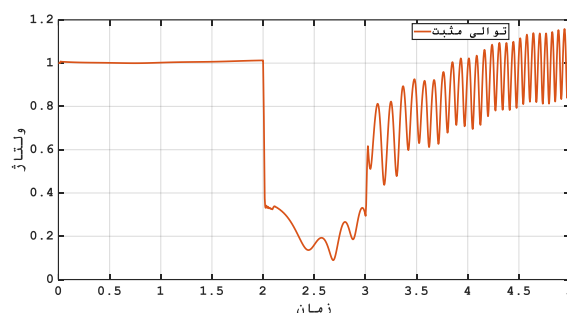
جدول ۱- آستانه پیشنهادی برای تشخیص خطای سه فاز و

| انواع حمله     |                |                |                |
|----------------|----------------|----------------|----------------|
| $\delta_{V+5}$ | $\delta_{I+5}$ | $\delta_{V+7}$ | $\delta_{I+7}$ |
| ۰/۵            | ۴              | ۰/۵            | ۴              |

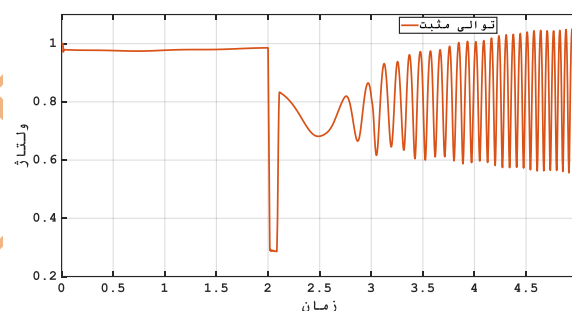
#### • منطق پیشنهادی تشخیص خطای سه فاز

برای تشخیص خطای سه فاز ۱۱ کمیت در دو طرف خط تحت حفاظت مورد مقایسه قرار می گیرد. در صورتی که آستانه ولتاژ توالی مثبت هر دو طرف خط کمتر از ۰/۵ پریونیت ( $S_5$  و  $S_7$ ) و آستانه جریان توالی مثبت بیشتر از ۴ پریونیت باشد ( $S_6$  و  $S_8$ ) در شرایطی که هر دو رله پیک آپ کرده باشند ( $S_1$  و  $S_3$ ) و جریان پایش بیشتر از ۰/۲ پریونیت باشد ( $S_2$  و  $S_4$ ) اعلام خطای سه فاز توسط منطق پیشنهادی زیر صورت و با توجه به یازده سیگنال  $S_1$  تا  $S_{11}$  می گیرد و سیگنال خروجی رله به سمت کلید اعمال می شود. سیگنال های  $S_9$ ،  $S_{10}$  و  $S_{11}$  به ترتیب اختلاف دامنه فرمان دو رله طرفین خط، فرمان رله شماره ۷ و فرمان رله شماره ۵ می باشند.

رفتار دینامیکی ولتاژ توالی مثبت در هر دو باس در ادامه نشان داده شده است. همان طور که مشاهده می شود توالی مثبت ولتاژ در باس ۷ دستخوش تغییرات طولانی تر و با نوسان بیشتر قرار گرفته و پس از اتمام حمله به مقدار قبلی همگرا می شود این در حالی است که ولتاژ توالی مثبت در باس ۵ نیز با عبور از مراحل نوسانی به یک پریونیت همگرا می شود.



شکل ۲۵ - توالی مثبت ولتاژ باس ۷



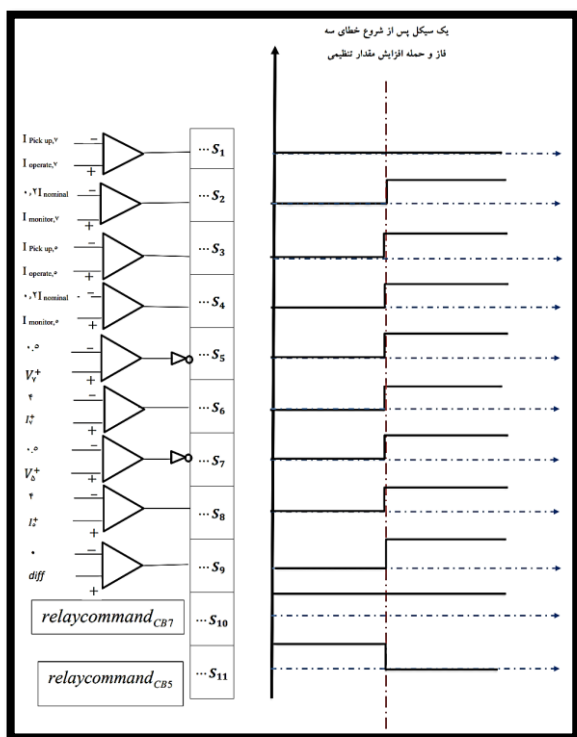
شکل ۲۶ - توالی مثبت ولتاژ باس ۵

#### ۵-۵- تشخیص حملات سایبری به روش پیشنهادی

برای شناسایی حملات سایبری مختلف، از سیگنال های مختلف شامل جریان، ولتاژ باس ها و فرمان رله ها استفاده شده است. استفاده از سیگنال های الکتریکی که معمولاً برای اهداف کنترلی و نظارت بر شرایط در سیستم استفاده می شود، از نظر عملی، فنی و اقتصادی کاملاً موجه است و بنابراین هزینه های مربوط به طراحی و مسائل فنی ناشی از نصب تجهیزات و سنسورهای جدید به طور کامل حذف شده اند. هدف اصلی روش پیشنهادی تشخیص جامع و همچنین داشتن حداقل حجم محاسبات می باشد [۴۲].

در این مقاله برای تشخیص انواع خطا و حملات سایبری و کلاسه بندی آنها از نتایج توالی مثبت و منفی جریان و

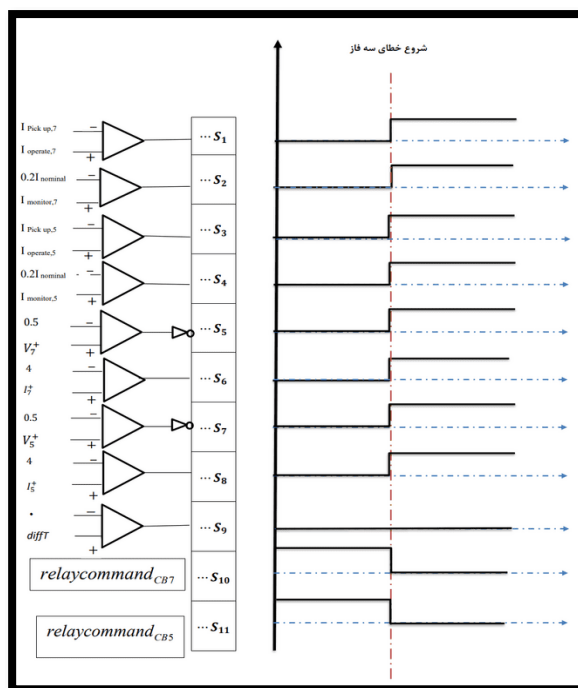




شکل ۲۸- بردار سیگنال منطقی خروجی در حمله افزایش مقدار تنظیمی

### • منطق پیشنهادی تشخیص حمله تزریق داده نادرست

برای تشخیص حمله تزریق داده نادرست جریان به ورودی رله ۷ در صورتی که آستانه ولتاژ توالی مثبت هر دو طرف خط بیشتر از ۰/۵ پریونیت و آستانه جریان توالی مثبت فقط رله ۷ بیشتر از ۴ پریونیت باشد در صورتی که فقط رله شماره ۷ پیک آپ کرده باشند و جریان پایش رله ۷ بیشتر از ۰/۲ پریونیت باشد و همچنین اختلاف دامنه فرمان قطع بین دو رله (diff) یک باشد اعلام حمله توسط منطق پیشنهادی صورت می گیرد و سیگنال فرمان بلاک رله ۷ پس از مدت زمان معین ( $\beta$ ) به سمت کلید اعمال می شود.

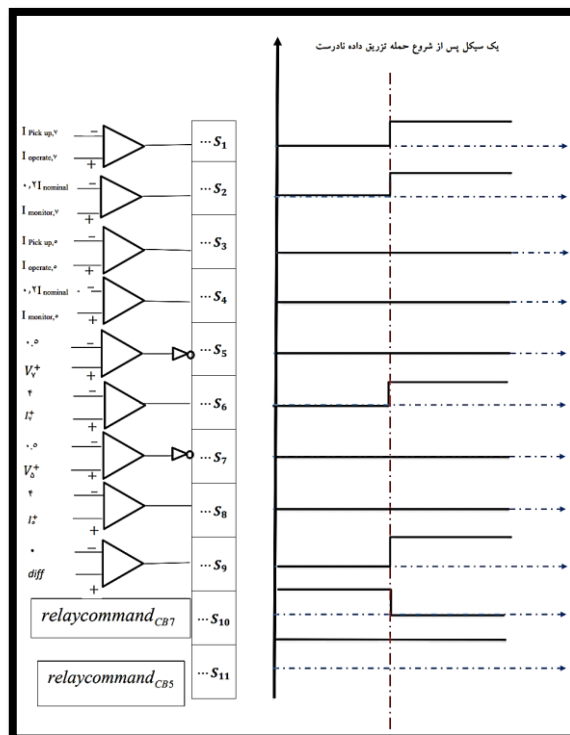
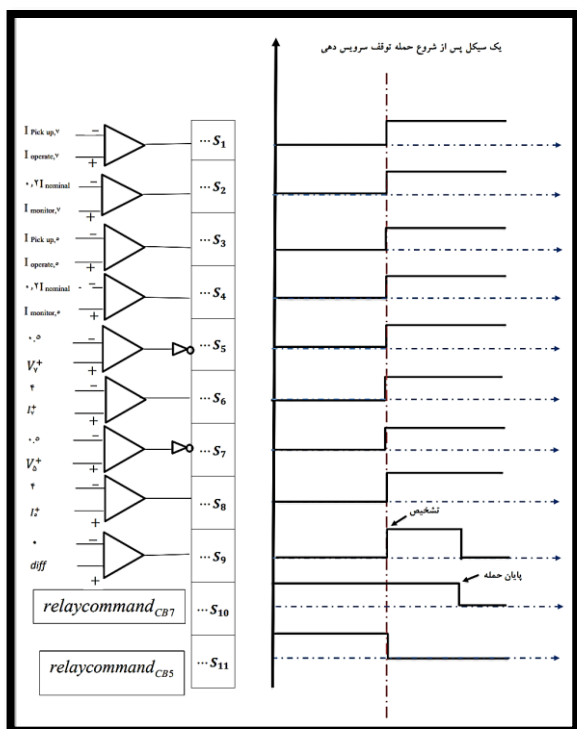


شکل ۲۷- بردار سیگنال منطقی خروجی در خطای سه فاز

### • منطق پیشنهادی تشخیص حمله افزایش مقدار تنظیمی

برای تشخیص حمله افزایش مقدار تنظیمی به رله ۷ در حین خطای سه فاز در صورتی که آستانه ولتاژ توالی مثبت هر دو طرف خط کمتر از ۰/۵ پریونیت و آستانه جریان توالی مثبت بیشتر از ۴ پریونیت باشد در صورتی که رله شماره ۵ پیک آپ کرده ولی رله شماره ۷ پیک آپ نکرده باشند و جریان پایش هر دو طرف بیشتر از ۰/۲ پریونیت باشد و همچنین اختلاف دامنه فرمان قطع بین دو رله (diff) یک باشد اعلام حمله توسط منطق پیشنهادی زیر صورت می گیرد و سیگنال فرمان قطع از رله ۷ پس از زمان مشخص ( $\beta$ ) به کلید اعمال می شود.

نداشت و فقط مقادیر آستانه توالی مثبت جریان و ولتاژ بروز رسانی شد.



شکل ۲۹- بردار سیگنال منطقی خروجی در حمله تزریق داده نادرست

شکل ۳۰- بردار سیگنال منطقی خروجی در حمله توقف

#### سرویس دهی

بنابراین می‌توان نتیجه گرفت که روش جدید برای تغییر نوع خطا، شرایط بهره برداری و نرخ نمونه برداری سیگنال مقاوم است. در صورتی که الگوریتم‌های ذکر شده در این بخش در نتایج نشان داده شده در بخش ۲-۵ تا ۴-۵ اعمال شوند از ادامه عملکرد سیستم در حالت حمله سایبری جلوگیری می‌شود و از شدت حمله سایبری و اثرات آن تا حد زیادی کاسته می‌شود. نکته قابل توجه در الگوریتم پیشنهادی افزایش زمان پردازش سیگنال با افزایش تعداد تجهیزات حفاظتی و متعاقباً تعداد عملگرهای منطقی می‌باشد که در این مقاله با فرض حمله به یک رله از محدوده مجاز زمانی عملکرد کلید تجاوز نمی‌کند و مقابله با حمله به موقع صورت می‌گیرد. در ادامه جدول سیگنال‌های خروجی در هر شرایط نشان داده شده است و گیت‌های منطقی مربوط به تشخیص هر کدام از حملات با توجه به عدم تداخل در تشخیص نشان داده شده است.

#### دهی

برای تشخیص حمله توقف سرویس دهی رله ۷ در خطای سه فاز در صورتی که آستانه ولتاژ توالی مثبت هر دو طرف خط کمتر از  $0/5$  پریونیت و آستانه جریان توالی مثبت هر دو رله بیشتر از ۴ پریونیت باشد در صورتی که هر دو رله پیک آپ کرده باشند و جریان پایش بیشتر از  $0/2$  پریونیت باشد در صورتی که رله شماره ۵ فرمان قطع ارسال کند ولی رله شماره ۷ فرمان ارسال نکند در صورتی که اختلاف دامنه فرمان قطع بین دو رله (diff) یک باشد سیگنال فرمان قطع به رله شماره ۷ پس از زمان معین ( $\beta$ ) ارسال می‌شود و اعلام حمله صورت گیرد.

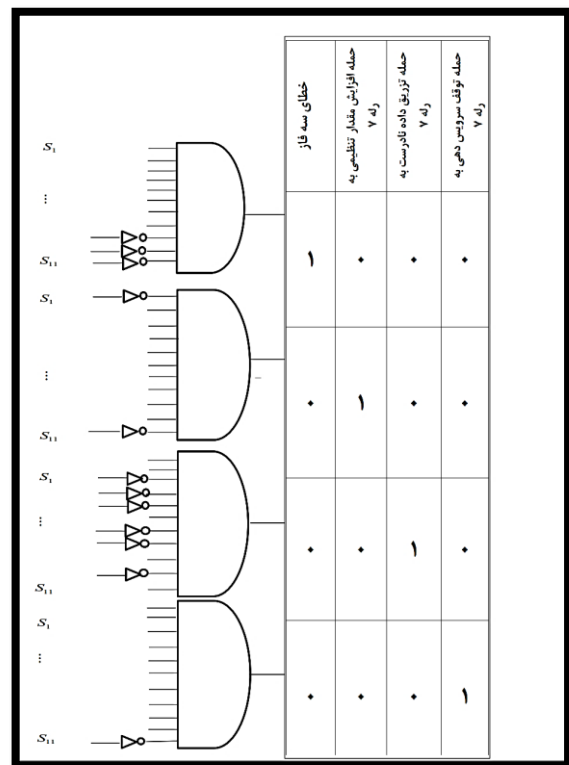
پوشش همه جانبه شرایط مختلف و قابلیت اجرا در محیط‌های صنعتی از قابلیت‌های اصلی روش توصیف شده به شمار می‌رود. برای ارزیابی حساسیت روش پیشنهادی، خطاهای نامتقارن با نرخ نمونه برداری مختلف پیاده‌سازی شد. در چنین شرایطی ماهیت روش پیشنهادی تغییر

۶- بحث و نتیجه گیری

در این مقاله مدل جدیدی برای مشخصه رله اضافه جریان با افزودن پارامتر جریان پایش به آن و همچنین اجرای سه نوع حمله سایبری در این بستر پیشنهاد گردید. مزیت عمده چنین مدل سازی قابلیت آن در فرآیند تشخیص و تمایز حملات به صورت مستقیم در برخی موارد و همچنین به صورت غیر مستقیم می باشد. الگوریتم تشخیص پیشنهادی به عنوان ترکیبی از جریان عملکرد رله، جریان پایش، سیگنال های توالی مثبت و منفی جریان، ولتاژ و فرمان ارسالی توسط رله ها و مقایسه آنها با مقادیر آستانه از پیش تعریف شده در منطق حاکم بیان می شود. روش پیشنهادی به داده های آموزشی حملات احتمالی که غیر قابل پیش بینی بوده و در دسترس شبکه نیست وابستگی ندارد. نتایج نشان می دهد که با فرض اجرای حملات تکی به یک رله الگوریتم قابلیت تشخیص و تمایز حملات سایبری تعریف شده را در مدت زمان ۱۷ میلی ثانیه داشته و فرمان مقتضی را به رله تحت حمله ارسال می کند. شایان ذکر است که الگوریتم منحصر به فرد پیشنهادی در برابر هرگونه تغییر در شرایط بهره برداری، نرخ نمونه برداری و اشباع CT مقاوم است. این روش نسبت به سایر تکنیک های تشخیص برتری دارد زیرا به نقطه عملیاتی، طرح حفاظت رله و نوع حمله سایبری وابسته نیست. اجرای الگوریتم به دلیل نیاز نظارت مستمر شرایط زمان واقعی پرهزینه است ولی با توجه به هزینه بالای زیان تحمیلی و ریسک ایجاد شده از ناحیه حملات سایبری در سیستم قدرت تخصیص مقادیر بالای بودجه به این حوزه به منظور افزایش امنیت سایبری از نظر اقتصادی در مجامع بین المللی توجیه پذیر می باشد.

این نتیجه گیری همچنین می تواند در تشخیص حملات سایبری هماهنگ به چند رله نیز مورد استفاده قرار گیرد. در این صورت می بایست کمیت های مشابه در پشت رله ها و دیگر باس ها نیز در الگوریتم وارد شود. در این صورت با افزایش تعداد تجهیزات حفاظتی زمان پردازش مورد نیاز داده ها در باس های مختلف افزایش می یابد که عیب عمده بهره گیری از روش های بر مبنای مقایسه است. در این صورت می توان اثر گسترده کردن سیستم

| رویداد   | خطای سه فاز | حمله افزایش مقدار تنظیمی به رله $\gamma$ | حمله تزریق داده نادرست به رله $\gamma$ | حمله توقف سرویس دهی به رله $\gamma$ |
|----------|-------------|--|--|-------------------------------------|
| $S_1$    | ۱           | ۰  | ۱                                      | ۱                                   |
| $S_2$    | ۱           | ۱  | ۱                                      | ۱                                   |
| $S_3$    | ۱           | ۱  | ۰                                      | ۱                                   |
| $S_4$    | ۱           | ۱  | ۰                                      | ۰                                   |
| $S_5$    | ۱           | ۱  | ۰                                      | ۰                                   |
| $S_6$    | ۱           | ۱  | ۱                                      | ۱                                   |
| $S_7$    | ۱           | ۱  | ۰                                      | ۱                                   |
| $S_8$    | ۱           | ۱  | ۰                                      | ۰                                   |
| $S_9$    | ۰           | ۱  | ۱                                      | ۱                                   |
| $S_{10}$ | ۰           | ۱  | ۰                                      | ۱                                   |
| $S_{11}$ | ۰           | ۰  | ۱                                      | ۰                                   |



شکل ۳۱ - دیاگرام منطقی الگوریتم پیشنهادی تشخیص

سایر موارد گذرا، وجود شرایط بهره برداری از پیش تعیین نشده، امپدانس‌های مختلف خط، نفوذ منابع انرژی توزیع شده بر روش پیشنهادی و امکان سنجی حملات سایبری ذکر شده در سیستم ارتباطی واقعی، هدف آتی تحقیقات می‌باشد.

تشخیص و تقسیم بندی آن به نواحی مختلف، به منظور کاهش زمان عملکرد و قرار گرفتن آن در محدوده عملی مجاز کلیدها و به موقع عمل کردن و رفع حملات سایبری را بررسی نمود.

در ادامه می‌توان مدل پیشنهادی رله و الگوریتم تشخیص حملات سایبری را در شبکه‌های توزیع استاندارد بررسی نمود. تاثیر سناریوهای متعدد از قبیل برخورد صاعقه و

## پیوست

جدول ۳ - داده‌های بار

| شماره باس | توان اکتیو (مگاوات) | توان راکتیو (مگاوار) |
|-----------|---------------------|----------------------|
| ۵         | ۱۲۵                 | ۵۰                   |
| ۶         | ۹۰                  | ۳۰                   |
| ۸         | ۱۰۰                 | ۳۵                   |

جدول ۴ - داده‌های خطوط انتقال

| شماره خط انتقال | مقاومت (اهم بر کیلومتر) | اندوکتانس (میلی هانری بر کیلومتر) | کاپاسیتانس (نانو فاراد بر کیلومتر) | طول خط (کیلومتر) |
|-----------------|-------------------------|-----------------------------------|------------------------------------|------------------|
| ۵-۴             | ۰/۰۵۲۹                  | ۱/۱۹۲                             | ۸/۸۲                               | ۱۰۰              |
| ۶-۴             | ۰/۰۸۹۹۳                 | ۱/۲۹                              | ۷/۹۲۲                              | ۱۰۰              |
| ۷-۵             | ۰/۲۰۶۳۱                 | ۲/۳۸                              | ۱۷/۹۵                              | ۱۰۰              |
| ۹-۶             | ۰/۱۶۹۲۸                 | ۲/۲۵۹                             | ۱۵/۳۴                              | ۱۰۰              |
| ۸-۷             | ۰/۰۴۴۹۶۵                | ۱/۰۱                              | ۷/۴۷۱                              | ۱۰۰              |
| ۹-۸             | ۰/۰۶۲۹۵۱                | ۱/۴۱۴                             | ۱۰/۴۷                              | ۱۰۰              |

## مراجع

- [1] Tesfay, Teklemariam Tsegay. *Cybersecurity solutions for active power distribution networks*. No. 7484. EPFL, 2017.
- [2] Huseinović, Alvin, Saša Mrdović, Kemal Bicakci, and Suleyman Uludag. "A survey of denial-of-service attacks and solutions in the smart grid." *IEEE Access* 8 (2020): 177447-177470.
- [3] Wang, Shouxiang, Dong Liang, Leijiao Ge, and Xudong Wang. "Analytical FRTU deployment approach for reliability improvement of integrated cyber-physical distribution systems." *IET Generation, Transmission & Distribution* 10, no. 11 (2016): 2631-2639.
- [4] Hasan, Mohammad Kamrul, AKM Ahasan Habib, Zarina Shukur, Fazil Ibrahim, Shayla Islam, and Md Abdur Razzaque. "Review on cyber-physical and cyber-security system in smart grid: Standards, protocols, constraints, and recommendations." *Journal of network and computer applications* 209 (2023): 103540.
- [5] He, Haibo, and Jun Yan. "Cyber-physical attacks and defences in the smart grid: a survey." *IET Cyber-Physical Systems: Theory & Applications* 1, no. 1 (2016): 13-27.

- [6] Santos, B. Paiva, F. Charrua-Santos, and T. M. Lima. "Industry 4.0: an overview." In *Proceedings of the World Congress on engineering*, vol. 2, pp. 4-6. IAEN, London, UK, 2018.
- [7] Delgado-Gomes, Vasco, Joao F. Martins, Celson Lima, and Paul Nicolae Borza. "Smart grid security issues." In *2015 9th International conference on compatibility and power electronics (CPE)*, pp. 534-538. IEEE, 2015.
- [8] Rawat, Danda B., and Chandra Bajracharya. "Cyber security for smart grid systems: Status, challenges and perspectives." *SoutheastCon 2015* (2015): 1-6.
- [9] Shapsough, Salsabeel, Fatma Qatan, Raafat Aburukba, Fadi Aloul, and A. R. Al Ali. "Smart grid cyber security: Challenges and solutions." In *2015 international conference on smart grid and clean energy technologies (ICSGCE)*, pp. 170-175. IEEE, 2015.
- [10] Al-Garadi, Mohammed Ali, Amr Mohamed, Abdulla Khalid Al-Ali, Xiaojiang Du, Ihsan Ali, and Mohsen Guizani. "A survey of machine and deep learning methods for internet of things (IoT) security." *IEEE communications surveys & tutorials* 22, no. 3 (2020): 1646-1685.
- [11] Zhang, Hang, Bo Liu, and Hongyu Wu. "Smart grid cyber-physical attack and defense: A review." *IEEE Access* 9 (2021): 29641-29659.
- [12] Krause, Tim, Raphael Ernst, Benedikt Klaer, Immanuel Hacker, and Martin Henze. "Cybersecurity in power grids: Challenges and opportunities." *Sensors* 21, no. 18 (2021): 6225.
- [13] Boeding, Matthew, Kelly Boswell, Michael Hempel, Hamid Sharif, Juan Lopez Jr, and Kalyan Perumalla. "Survey of cybersecurity governance, threats, and countermeasures for the power grid." *Energies* 15, no. 22 (2022): 8692.
- [14] Aslan, Ömer, Semih Serkant Aktuğ, Merve Ozkan-Okay, Abdullah Asim Yilmaz, and Erdal Akin. "A comprehensive review of cyber security vulnerabilities, threats, attacks, and solutions." *Electronics* 12, no. 6 (2023): 1333
- [15] Premaratne, Upeka Kanchana, Jagath Samarabandu, Tarlochan S. Sidhu, Robert Beresh, and Jian-Cheng Tan. "An intrusion detection system for IEC61850 automated substations." *IEEE Transactions on Power Delivery* 25, no. 4 (2010): 2376-2383.
- [16] Jin, Dong, David M. Nicol, and Guanhua Yan. "An event buffer flooding attack in DNP3 controlled SCADA systems." In *Proceedings of the 2011 Winter Simulation Conference (WSC)*, pp. 2614-2626. IEEE, 2011.
- [17] Liang, Gaoqi, Steven R. Weller, Junhua Zhao, Fengji Luo, and Zhao Yang Dong. "The 2015 Ukraine blackout: Implications for false data injection attacks." *IEEE transactions on power systems* 32, no. 4 (2016): 3317-3318.
- [18] Li, Yang, Xinhao Wei, Yuanzheng Li, Zhaoyang Dong, and Mohammad Shahidehpour. "Detection of false data injection attacks in smart grid: A secure federated deep learning approach." *IEEE Transactions on Smart Grid* 13, no. 6 (2022): 4862-4872.
- [19] Li, Yuncheng, and Yuanyuan Wang. "False data injection attacks with incomplete network topology information in smart grid." *IEEE Access* 7 (2018): 3656-3664.
- [20] Bi, Suzhi, and Ying Jun Zhang. "Graphical methods for defense against false-data injection attacks on power system state estimation." *IEEE Transactions on Smart Grid* 5, no. 3 (2014): 1216-1227.
- [21] AEMO: 'Australian energy sector cyber security framework education workshop', October (2018)
- [22] Gurevich, Vladimir. *Cyber and electromagnetic threats in modern relay protection*. Crc Press, 2014.
- [23] Deng, Ruilong, Gaoxi Xiao, and Rongxing Lu. "Defending against false data injection attacks on power system state estimation." *IEEE Transactions on Industrial Informatics* 13, no. 1 (2015): 198-207.
- [24] Wang, Qi, Wei Tai, Yi Tang, and Ming Ni. "Review of the false data injection attack against the cyber-physical power system." *IET Cyber-Physical Systems: Theory & Applications* 4, no. 2 (2019): 101-107.

- [25] Kim, Jinsub, and Lang Tong. "On topology attack of a smart grid: Undetectable attacks and countermeasures." *IEEE Journal on Selected Areas in Communications* 31, no. 7 (2013): 1294-1305.
- [26] Choi, Dae-Hyun, and Le Xie. "Economic impact assessment of topology data attacks with virtual bids." *IEEE Transactions on Smart Grid* 9, no. 2 (2016): 512-520.
- [27] Ameli, Amir, Ali Hooshyar, and Ehab F. El-Saadany. "Development of a cyber-resilient line current differential relay." *IEEE Transactions on Industrial Informatics* 15, no. 1 (2018): 305-318.
- [28] Liang, Gaoqi, Steven R. Weller, Junhua Zhao, Fengji Luo, and Zhao Yang Dong. "A framework for cyber-topology attacks: Line-switching and new attack scenarios." *IEEE Transactions on Smart Grid* 10, no. 2 (2017): 1704-1712.
- [29] Hong, Junho, Reynaldo F. Nuqui, Anil Kondabathini, Dmitry Ishchenko, and Aaron Martin. "Cyber attack resilient distance protection and circuit breaker control for digital substations." *IEEE Transactions on Industrial Informatics* 15, no. 7 (2018): 4332-4341.
- [30] Johnson, Jay, Jimmy Quiroz, Ricky Concepcion, Felipe Wilches-Bernal, and Matthew J. Reno. "Power system effects and mitigation recommendations for DER cyberattacks." *IET Cyber-Physical Systems: Theory & Applications* 4, no. 3 (2019): 240-249.
- [31] Ten, Chee-Woo, Koji Yamashita, Zhiyuan Yang, Athanasios V. Vasilakos, and Andrew Ginter. "Impact assessment of hypothesized cyberattacks on interconnected bulk power systems." *IEEE Transactions on Smart Grid* 9, no. 5 (2017): 4405-4425.
- [32] Liu, Xindong, Mohammad Shahidehpour, Zuyi Li, Xuan Liu, Yijia Cao, and Zhiyi Li. "Power system risk assessment in cyber attacks considering the role of protection systems." *IEEE Transactions on Smart Grid* 8, no. 2 (2016): 572-580.
- [33] Amin, BM Ruhul, Seyedfoad Taghizadeh, Md Shihanur Rahman, Md Jahangir Hossain, Vijay Varadharajan, and Zhiyong Chen. "Cyber attacks in smart grid—dynamic impacts, analyses and recommendations." *IET Cyber-Physical Systems: Theory & Applications* 5, no. 4 (2020): 321-329.
- [34] Khaw, Yew Meng, Amir Abiri Jahromi, Mohammadreza FM Arani, Scott Sanner, Deepa Kundur, and Marthe Kassouf. "A deep learning-based cyberattack detection system for transmission protective relays." *IEEE Transactions on Smart Grid* 12, no. 3 (2020): 2554-2565.
- [35] Rahman, Md Shihanur, Md Apel Mahmud, Aman Maung Than Oo, and Hemanshu Roy Pota. "Multi-agent approach for enhancing security of protection schemes in cyber-physical energy systems." *IEEE transactions on industrial informatics* 13, no. 2 (2016): 436-447.
- [36] Mohamed, Nancy, and Magdy MA Salama. "Data mining-based cyber-physical attack detection tool for attack-resilient adaptive protective relays." *Energies* 15, no. 12 (2022): 4328.
- [37] Jahromi, Amir Abiri, Anthony Kemmeugne, Deepa Kundur, and Aboutaleb Haddadi. "Cyber-physical attacks targeting communication-assisted protection schemes." *IEEE Transactions on Power Systems* 35, no. 1 (2019): 440-450.
- [38] Liang, Gaoqi, Steven R. Weller, Junhua Zhao, Fengji Luo, and Zhao Yang Dong. "A framework for cyber-topology attacks: Line-switching and new attack scenarios." *IEEE Transactions on Smart Grid* 10, no. 2 (2017): 1704-1712.
- [39] NERC: 'Misoperations report'. Protection System Misoperations Task Force-NERC Planning Committee, 2013
- [40] Sauer, P. W., and M. A. Pai. "Power System Dynamics and Stability, Prentice-Hall." *New Jersey* (1998).
- [41] Rebizant, Waldemar, Janusz Szafran, and Andrzej Wiszniewski. "Digital signal processing in power system protection and control." (2011): 978-0.
- [42] Yousefi kia, Mohammad, Mohsen Saniei, and Seyyed Ghodrattollah Seifossadat. "A novel cyber-attack modelling and detection in overcurrent protection relays based on wavelet signature analysis." *IET*

UNCORRECTED PROOF